

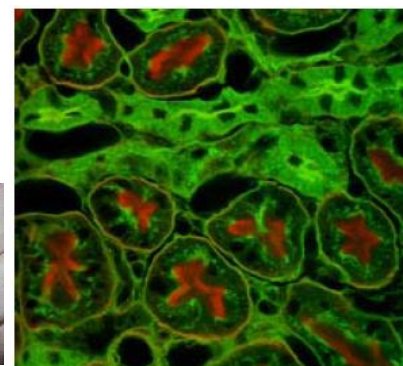
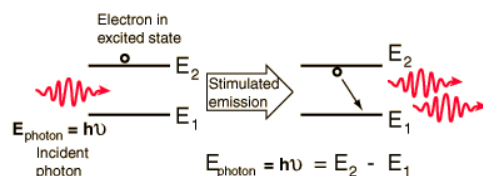


Τμήμα Χημείας Πανεπιστήμιο Κρήτης

Εργαστήρια Λείζερ - Εφαρμογές στη Χημεία ΧΗΜ-425

Εαρινό εξάμηνο 2019-20 (02.04.2020)

4Α. Αρχές Λειτουργίας και Τύποι Λείζερ Μη-γραμμική Οπτική



Βιβλιογραφία

- [WH] J. Wilson, J. Hawkes, ‘Οπτοηλεκτρονική’ (Πανεπ. Εκδόσεις ΕΜΠ, 2007) Κεφ. 3, 5, 6
- [HO] J.M. Hollas, ‘*Modern Spectroscopy*’ (John-Wiley&Sons, NY 1996) Ch 9
- [AtΦX] P.W. Atkins, J. de Paula ‘Φυσικοχημεία’ (ΠΕΚ, Ηράκλειο 2014) Κεφ. 13
- [YO] M. Young, ‘Οπτική και Λείζερ’, (Πανεπ. Εκδόσεις ΕΜΠ, 2008)
- [WD] W. Demtröder, ‘Laser Spectroscopy’ Vol.1, 2 (Springer, Berlin 2008)

Σύνδεσμοι

<https://en.wikipedia.org/wiki/Laser>

<https://www.newport.com/c/lasers>

<http://www.bgu.ac.il/~glevi/website/Guides/Lasers.pdf>

<http://electrons.wikidot.com/principle-and-application-of-laser>

https://www.rp-photonics.com/laser_spectroscopy.html

<https://www.neonscience.org/lidar-basics>

<https://www.raymetrics.com/>

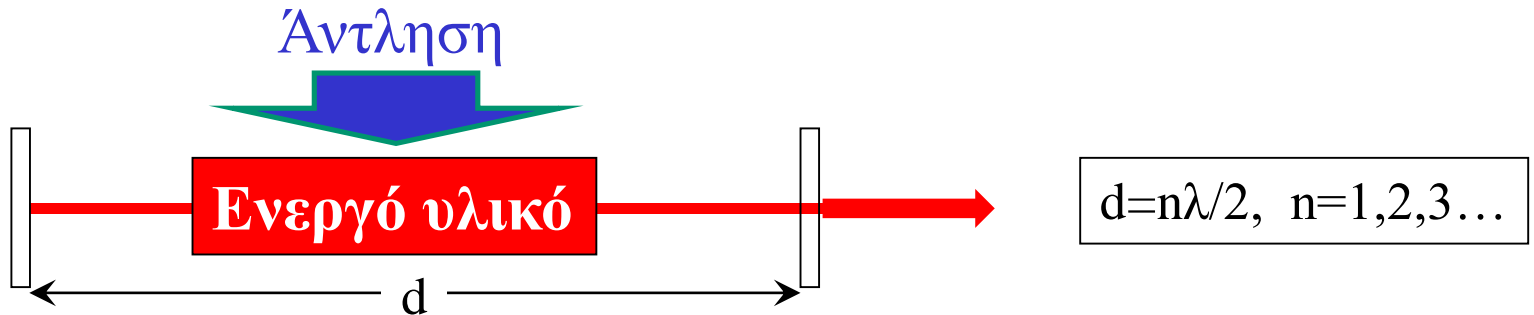
https://en.wikipedia.org/wiki/Nonlinear_optics

<https://www.microscopyu.com/techniques/multi-photon/multiphoton-microscopy>

Πηγή άκτινοβολίας Λείζερ

(LASER: Light Amplification by the Stimulated Emission of Radiation)

- Η ακτινοβολία λείζερ παράγεται λόγω **εξαναγκασμένης εκπομπής** φωτονίων σε ένα **ενεργό μέσο** (αέριο, υγρό ή στερεό) το οποίο διεγείρεται (αντλείται) οπτικώς ή ηλεκτρικώς.
- Ένα λείζερ κατασκευάζεται με την τοποθέτηση του **ενεργού μέσου** μεταξύ 2 κατόπτρων (**κοιλότητα**), η απόσταση μεταξύ των οποίων (συνήθως) είναι ακέραιο πολλαπλάσιο του μισού-μήκους κύματος της ακτινοβολίας.



Κυριότερα χαρακτηριστικά του λείζερ

1. Κατευθυντικότητα δηλ. η μικρή απόκλιση της δέσμης. Επειδή (συνήθως) η ακτινοβολία πηγάζει από μια πολύ καλά ευθυγραμμισμένη κοιλότητα .
2. Μονοχρωματικότητα: Πολύ καλά προσδιορισμένο μήκος κύματος.
3. Υψηλή ένταση (ισχύς) δηλ πολλά φωτόνια ανά μονάδα επιφάνειας ανά χρόνο.
4. Συμφωνία (Coherence) δηλ. όλα τα κύματα των φωτονίων που εκπέμπονται έχουν την ίδια φάση

Ιστορικά στοιχεία

- 1917 - Einstein suggested possibility of stimulated emission.
- 1958 - Shawlow and Townes outlined conditions needed to amplify stimulated emission of visible light waves.
- 1960 - Maiman made first ruby laser, with light output at 694 nm.
- 1961 - Javan constructed the HeNe-laser.
- 1962 - Hall et al. discover the GaAs semiconductor laser.
- 1963 - Patel obtained laser action in CO₂.
- 1964 - Geusic and Marcos build the first Nd:YAG laser
 - Bridges obtained laser action in Argon-Ions. (Ar⁺ laser)
- 1970 - Basov demonstrated the first excimer laser (Xe₂).
- 1975 - Ewing and Brau reported laser action on KrF and XeCl.
- 1985 - Matthews and Rosen demonstrated first x-ray laser
- 2001 - Papadogiannis, Charalambidis produce attosecond laser pulses

To πρώτο laser *Ruby Laser: $Cr^{+3}:Al_2O_3$*

Theodor H. Maiman : 1960, *Nature*, **187**, 493

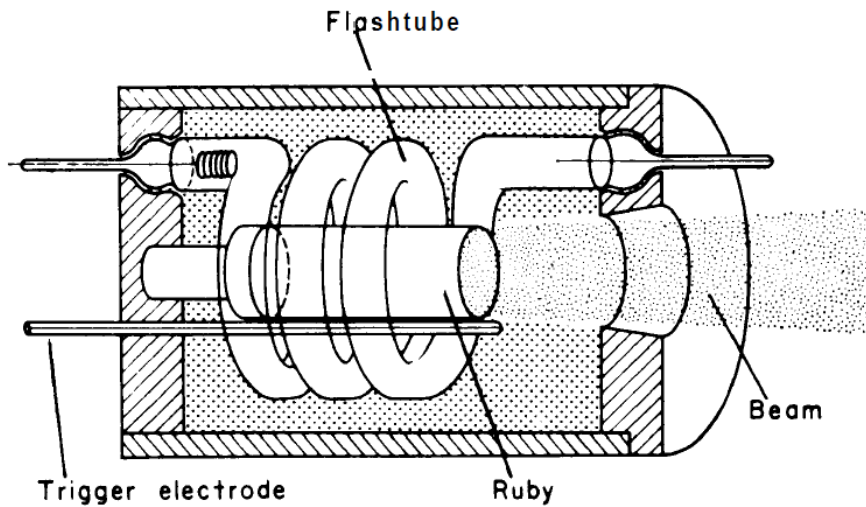
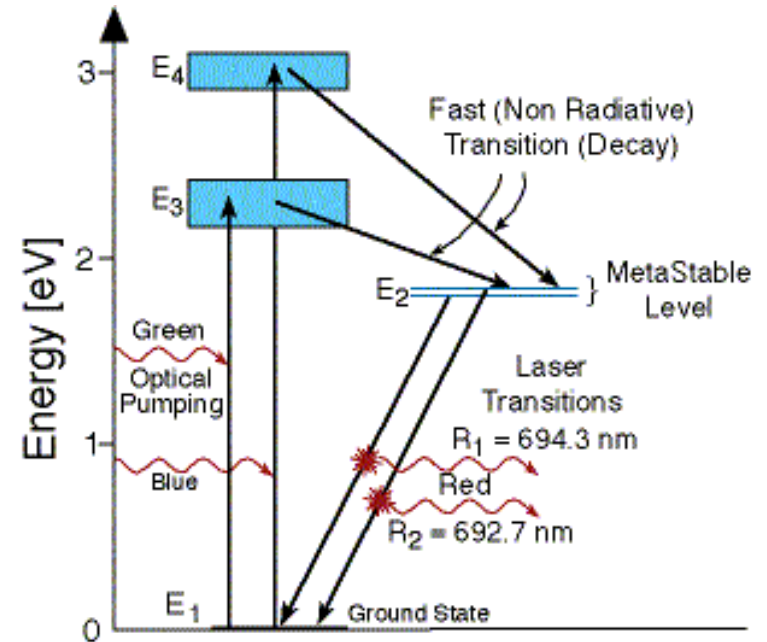
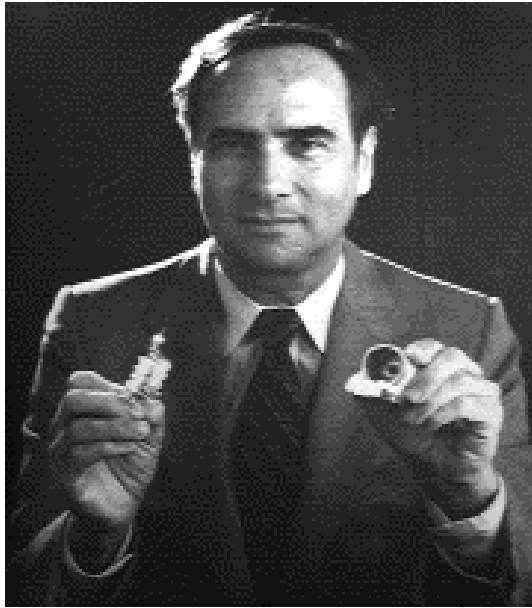


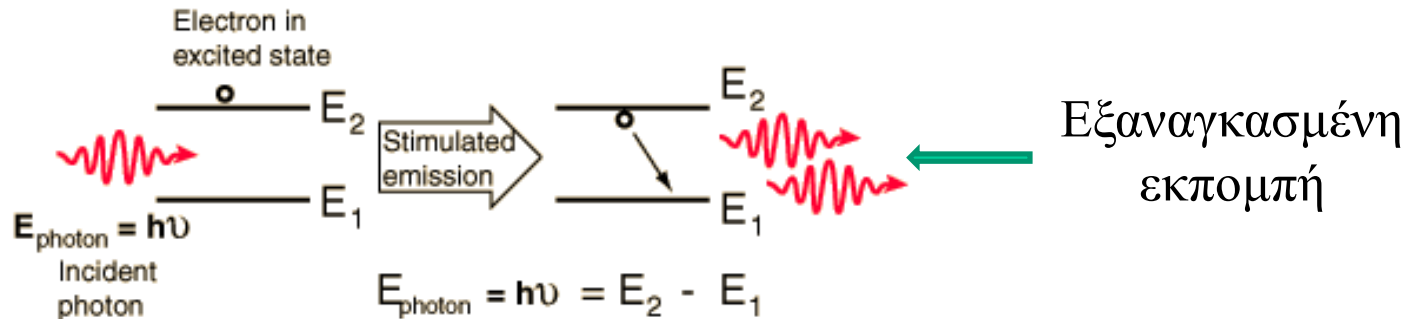
Fig. 2.1. The first experimental set-up of the ruby laser according to Maiman. The ruby rod in the middle is surrounded by a flashlamp in form of a spiral.

Βασική προϋπόθεση για δράση λέιζερ: **Αναστροφή πληθυσμού**

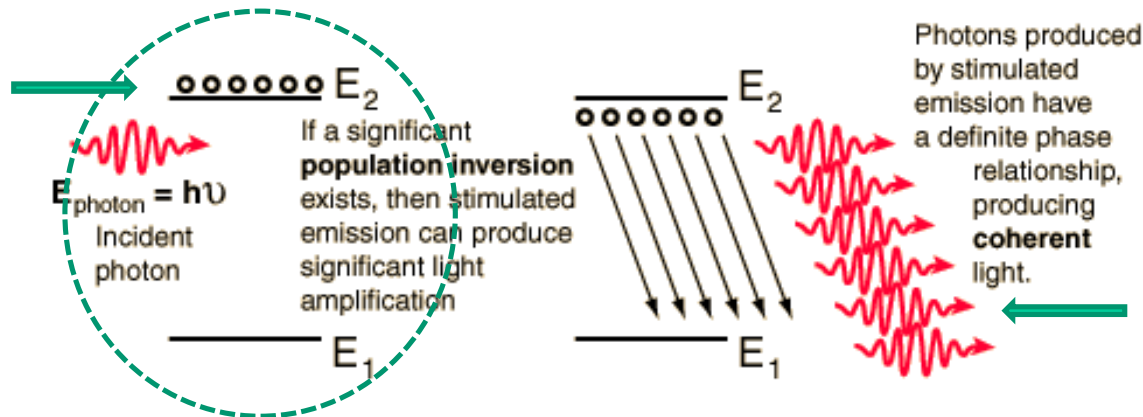
δηλ. θα πρέπει με κάποιο τρόπο να έχουμε μεγαλύτερο πληθυσμό στη διεγερμένη κατάσταση συγκριτικά με τη βασική.

Η αναστροφή πληθυσμού απαιτεί ενέργεια (άντληση)

Αυτή η άντληση επιτυγχάνεται είτε με φωτόνια (οπτική άντληση) είτε με ηλεκτρόνια (ηλεκτρική άντληση)



Αναστροφή πληθυσμών

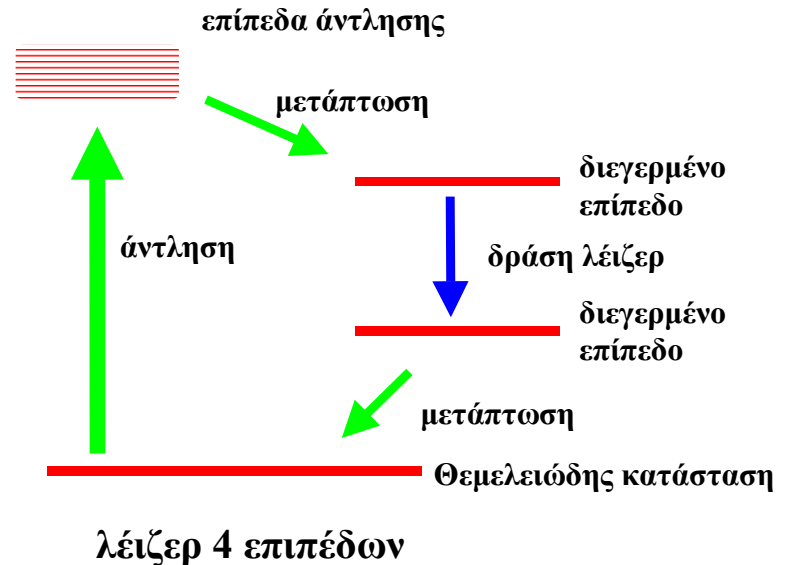
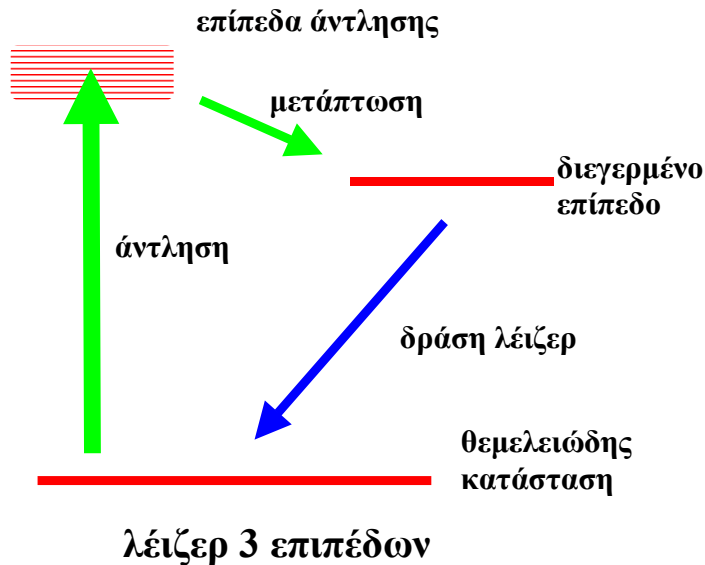


Εκπομπή
σύμφωνης
ακτινοβολίας

Συστήματα Λείζερ

Στην πράξη αναστροφή πληθυσμών και ως αποτέλεσμα αυτής δράση λείζερ είναι εφικτό να επιτευχθεί σε συστήματα τριών (3) ή τεσσάρων (4) επιπέδων.

ΔΕΝ είναι εφικτή η παρατήρηση δράσης λείζερ σε σύστημα δύο (2) επιπέδων (Να αιτιολογήσετε)



Βασικές διεργασίες στη λειτουργία των Λείζερ

Απορρόφηση ακτινοβολίας - Διέγερση (a): $A + h\nu \rightarrow A^*$

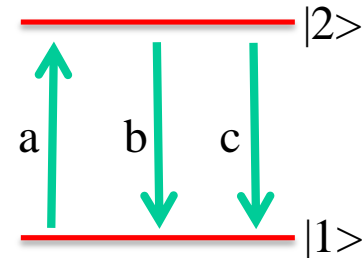
B_{12}

Αυθόρμητη αποδιέγερση (b): $A^* \rightarrow A + h\nu$

A_{21}

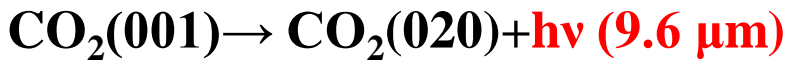
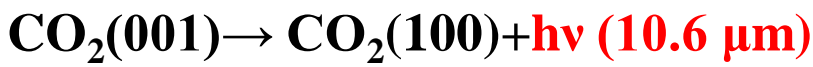
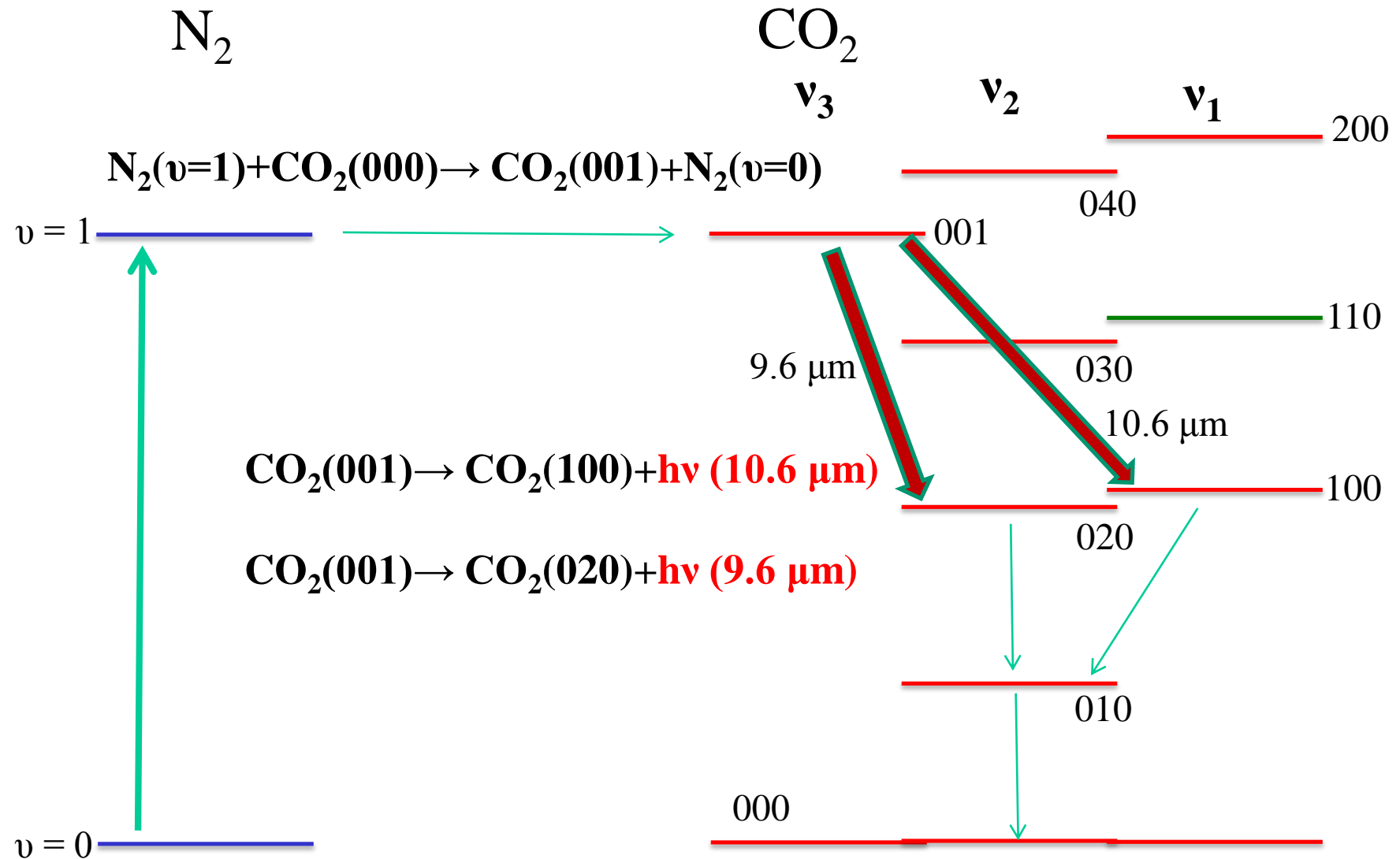
Εξαναγκασμένη αποδιέγερση (c): $A^* + h\nu \rightarrow A + 2h\nu$

B_{21}



Συντελεστές Einstein

Παράδειγμα : Το Λείζερ Διοξειδίου του Άνθρακα (CO_2 laser)

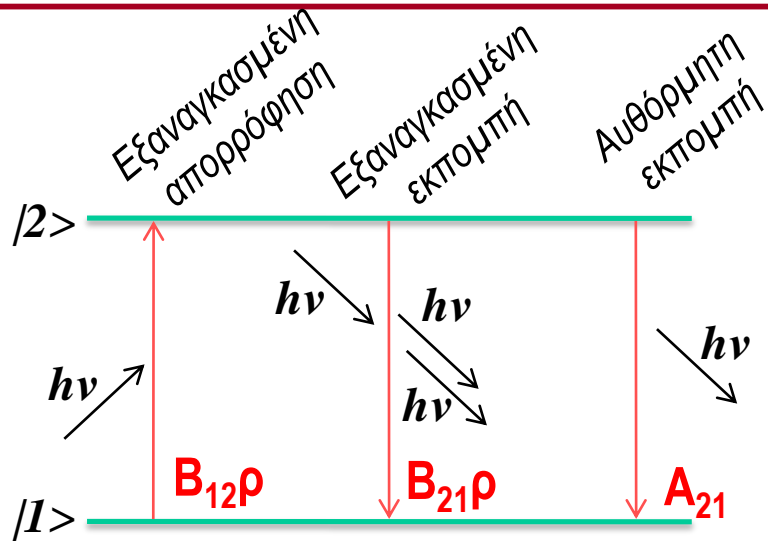


Αναστροφή πληθυσμών

$CO_2(001)$: αργή αποδιέγερση

$CO_2(100)$ και $CO_2(020)$: ταχεία αποδιέγερση

Μεταβάσεις μεταξύ ενεργειακών επιπέδων (συντελεστές Einstein)



Συντελεστές Einstein : B_{12} , B_{21} , A_{21}

$\rho = \rho(\nu)$: Πυκνότητα ισχύος ακτινοβολίας

$$\Delta E = E_2 - E_1 = h\nu$$

N_1 , N_2 : πληθυσμοί (cm^{-3}) επιπέδων 1 και 2

Σε θερμική ισορροπία : $\rightarrow \frac{dN_1}{dt} = \frac{dN_2}{dt} = 0 \Rightarrow -B_{12}\rho N_1 + B_{21}\rho N_2 + A_{21}N_2 = 0$

κατανομή Boltzmann : $\rightarrow \frac{N_2}{N_1} = \frac{g_2}{g_1} e^{-\Delta E/kT} = \frac{g_2}{g_1} e^{-h\nu/kT}$

$$\rho(\nu) = \frac{A_{21}N_2}{B_{12}N_1 - B_{21}N_2} = \frac{A_{21}/B_{21}}{(B_{12}/B_{21})(N_1/N_2) - 1} = \frac{A_{21}/B_{21}}{(B_{12}/B_{21})(g_1/g_2)e^{h\nu/kT} - 1} \rightarrow \text{Νόμος Planck}$$

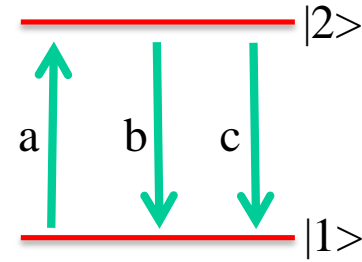
Νόμος Planck $\rho(\nu, T) = \frac{8\pi h \nu^3}{c^3 (e^{h\nu/kT} - 1)}$

$$A_{21} = \frac{8\pi h \nu^3}{c^3} B_{21} \quad B_{12} = \frac{g_2}{g_1} B_{21} = \frac{|\vec{\mu}_{12}|^2}{6\epsilon_0 \hbar^2}$$

Αναστροφή πληθυσμού (Population inversion) ⇔ Ενίσχυση (Gain)



Για μία πλήρη
διαδρομή στην
κοιλότητα (0, 2d)



Νόμος Beer : $dI(x) = -I(x)adx \Rightarrow I = I_0 e^{-a2L}$

Αν $a < 0$ (αρνητική (!) απορρόφηση) τότε έχουμε ενίσχυση ακτινοβολίας (gain) στην κοιλότητα

a, b, c : απλή κινητική θεώρηση του συστήματος δύο επιπέδων

$$\frac{dn}{dt} = -B_{12}nh\nu N_1 + B_{21}nh\nu N_2 + \cancel{A_{21}N_2} \Rightarrow (B_{12} = \sigma_{12} \frac{c}{h\nu}, I = \rho c, \rho = nh\nu)$$

$$\frac{dn}{dt} h\nu = -\sigma_{12} I (N_1 - \frac{g_1}{g_2} N_2) \Rightarrow \frac{dI}{dx} = -\sigma_{12} I (N_1 - \frac{g_1}{g_2} N_2)$$

$$\sigma_{12} (N_1 - \frac{g_1}{g_2} N_2) = a \quad a < 0 \Rightarrow N_2 > \frac{g_2}{g_1} N_1$$

Για να ισχύει $a < 0$ απαιτείται $g_1 N_2 > g_2 N_1$
δηλ. ΑΝΑΣΤΡΟΦΗ ΠΛΗΘΥΣΜΩΝ

Θεωρώντας β (cm^{-1}), συντελεστή απωλειών εντός της κοιλότητας προκύπτει :

$$I_{0 \rightarrow 2d} = I_0 e^{-a2L} \cdot e^{-\beta 2d} = I_0 e^{-a2L - \gamma} \Rightarrow a2L + \gamma < 0 \Rightarrow \Delta N_{threshold} = \frac{\gamma}{2L\sigma_{12}}$$

Δράση λέιζερ ευνοείται σε κοιλότητες με χαμηλές απώλειες, γ

Κινητική περιγραφή δράσης λέιζερ (4 επιπέδων)

$$\text{ΑΠΟΛΑΒΗ (GAIN)} : G = \frac{I(2d)}{I(d=0)} = e^{-2\alpha L - \gamma}$$

Λαμβάνοντας υπόψη ανακλάσεις στα κάτοπτρα (R_1, R_2)

$$G = \frac{I(2d)}{I(d=0)} \cdot R_1 \cdot R_2$$

$$\Rightarrow -\alpha_{th} = \frac{\gamma - \ln R_1 R_2}{2L} \quad \left(N_{th} = \frac{\gamma - \ln R_1 R_2}{2\sigma_{12} L} \right)$$

ΣΥΝΤΕΛΕΣΤΗΣ
ΑΠΟΛΑΒΗΣ

ΧΑΜΗΛΟΥ ΣΗΜΑΤΟΣ

$$G = \frac{I(2d)}{I(0)} \cdot R_1 R_2 = R_1 R_2 e^{-(\alpha+\gamma)2d}$$

από βιβλίο

Συνθήκη καθυστέρησης: $G_{th} = R_1 R_2 e^{-2(\alpha+\gamma)d} \geq 1 \Rightarrow -\alpha_{th} = \gamma + \frac{1}{2d} \ln(R_1 R_2)$

Ισχύει για ω γρήγορο: $\alpha_{th} = \alpha_{steady, state} \Leftarrow$ gain saturation (εμφακτικό αναζαβίσι)

$$-\alpha_{th} = \left[N_2 - \left(\frac{g_2}{\gamma}\right) N_1 \right] \sigma_{12} \Rightarrow N_{th} = \left[N_2 - \left(\frac{g_2}{\gamma}\right) N_1 \right]_{th}$$

$$\Rightarrow N_{th} = \frac{\gamma}{\sigma_{12}} + \frac{1}{2\sigma_{12}d} \ln \frac{1}{R_1 R_2}$$

H $I(2d) = I(0) e^{-2\alpha L} \cdot e^{-\gamma L}$ (loss coefficient $\gamma = \beta d$) στην L / κερδίσει d

ΑΝΤΗΛΙΘΕΣΙ
αναζαβίσι
καθ. σφαιρικός

$$\boxed{-\alpha_{th}} = \frac{\gamma - \ln R_1 R_2}{2L} \quad \text{ή} \quad \frac{\beta d - \ln R_1 R_2}{2L}$$

$$N_{th} = \frac{\gamma - \ln R_1 R_2}{2\sigma_{12}L}$$

Αν Αρραβίσι ~~(β)~~ ^{η ποσότητα} $g(v_s)$ ($\int_0^{\infty} g(v) dv = 1$) τότε:

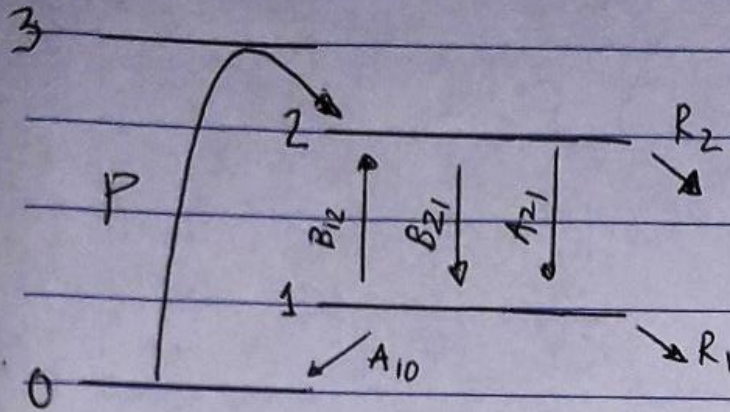
$$\alpha(v_s) = k(v_s) = \left(N_2 - \frac{g_2}{\gamma} N_1 \right) \underbrace{\frac{h\nu_s \eta}{c}}_{\sigma_{12}} g(v_s) \quad \left(\text{kernel: } I(v,x) = I(v,0) e^{-\alpha(v)x} \right)$$

επιχύνει ότι κέρπει οι κέρπει με κέρπει

Lorentz: $g(v)_L = \frac{\Delta\nu}{2\pi} \left[(v-v_0)^2 + \left(\frac{\Delta\nu}{2}\right)^2 \right]^{-1}$, $g(v_0)_L = \frac{2}{\pi \Delta\nu} \approx \frac{1}{\Delta\nu}$

(Gauss): $g(v)_G = \frac{2}{\Delta\nu} \sqrt{\frac{\ln 2}{\eta}} \exp \left[-(\ln 2) \left(\frac{v-v_0}{\Delta\nu/2} \right)^2 \right]$, $g(v_0)_G = \frac{2}{\Delta\nu} \left(\frac{\ln 2}{\eta} \right)^{1/2} \approx \frac{1}{\Delta\nu}$

Κινητική περιγραφή δράσης λέιζερ (4 επιπέδων)



$$\frac{dN_1}{dt} = B_{12} \rho (N_2 - N_1) + A_{21} N_2 - R_1 N_1 \quad (1)$$

$$\frac{dN_2}{dt} = P - B_{12} \rho (N_2 - N_1) - A_{21} N_2 - R_2 N_2 \quad (2)$$

ΕΛΑΧΟ υλιό
(μέσο)

$$\frac{dn}{dt} = B_{12} \rho (N_2 - N_1) - \beta n \quad (3) \quad \left(n(t) = n(0) e^{-\beta t}, \quad \gamma = \beta T = \beta \frac{2d}{c} \right)$$

όταν $N_1 = N_2 = 0$

ρυθμός κωλύσεων

Στην στάσιμη κατάσταση (steady state) : $\frac{dN_1}{dt} = \frac{dN_2}{dt} = \frac{dn}{dt} = 0$.

Κινητική περιγραφή δράσης λέιζερ (4 επιπέδων)

Στη στάσιμη κατάσταση (steady state) : $\frac{dN_1}{dt} = \frac{dN_2}{dt} = \frac{dn}{dt} = 0$.

(1), (2) $\Rightarrow P = R_1 N_1 + R_2 N_2$ (ή $A_{10} N_1 + R_2 N_2$) \Rightarrow Η άντληση αποκαθίσταται
(4) τις κινήσεις

(2), (3) $\Rightarrow P = \beta n + (A_{21} + R_2) N_2$ \Rightarrow Η άντληση αποκαθίσταται
(5) τις κινήσεις

(4), (5) \Rightarrow Στη στάσιμη κατάσταση : $R_1 N_1 \stackrel{!}{=} \beta n + A_{21} N_2$ \Rightarrow
ή $A_{10} N_1$

\Rightarrow Ταχεία απορρόμηση του επιπέδου 1 διατηρεί την ανατροφή ημιδυσκτών β στην δράση λέιζερ.

Κινητική περιγραφή δράσης λέιζερ (4 επιπέδων)

$$(1) * R_2 - (2) * R_1 \Rightarrow (N_2 - N_1)_{st} = \Delta N_{st} = \frac{(R_1 - A_{10} - A_{21}) P}{B_{12} P (R_1 + R_2) + A_{21} R + R_1 R_2}$$

$$(3), \frac{dn}{dt} = 0, d = L \Rightarrow (N_2 - N_1)_{st} = \Delta N_{st} = \frac{\beta}{B_{12} P} = \frac{\gamma}{B_{12} \frac{P}{c} 2L} \Rightarrow$$

$$\boxed{\Delta N_{st} = \Delta N_{th} = \frac{\gamma}{2L\sigma}} \quad \begin{array}{l} \text{Συνθήκη} \\ \text{κατωφλίου} \end{array}$$



$$(4), R_2 = 0 \Rightarrow P = A_{10} N_1 \Rightarrow N_1 = \frac{P}{A_{10}} \quad (4')$$

$$(2) \Rightarrow N_2 = P \left(1 + \frac{B_{12} P}{A_{10}} \right) \cdot \frac{1}{A_{21} + B_{22} P} \quad (6)$$

$$(4'), (6) \Rightarrow \Delta N = N_2 - N_1 = \boxed{P \cdot \frac{1 - \frac{A_{21}}{A_{10}}}{A_{21} + B_{22} P}}$$

$$\Rightarrow \Delta N > 0, \text{ αν } A_{21} < A_{10} \\ \Gamma_{21} > \Gamma_{10}$$

Κάτω από το κατώφλι δράσης της $B_{12} P$ (κίτρινο)

$$\Delta N \approx P \left(\frac{1 - \frac{A_{21}}{A_{10}}}{A_{21}} \right) \Rightarrow \Delta N \nearrow P \nearrow$$

Στο κατώφλι

$$\Delta N_{\pm h} \approx P_{\pm h} \left(\frac{1 - \frac{A_{21}}{A_{10}}}{A_{21}} \right) \approx \frac{P_{\pm h}}{A_{21}} \text{ αν } A_{21} < A_{10}$$

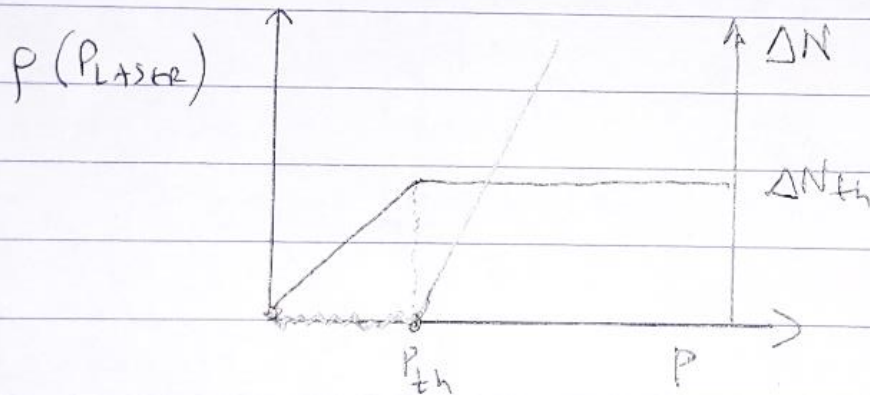
Αύξηση της αντανάκλασης οδηγεί σε βράδυ λήϊτε υπο συνθήκες
σταθιμής κατάστασης, διατηρώντας το $\Delta N = \Delta N_{th}$

Αρα - πάνω από το κατώφλι ($P > P_{th}$)

$$\Delta N = \Delta N_{th} \Rightarrow P \cdot \frac{1 - \frac{A_{21}}{A_{10}}}{A_{21} + B_{12}P} = P_{th} \frac{1 - \frac{A_{21}}{A_{10}}}{A_{21}} \Rightarrow$$

$$\Rightarrow \frac{P_{th}}{P} = 1 + \frac{B_{21}P}{A_{21}}$$

$$\Rightarrow P = \frac{A_{21}}{B_{21}} \left(\frac{P}{P_{th}} - 1 \right)$$



Χαρακτηριστικά ακτινοβολίας λέιζερ

Κατευθυντικότητα (Directionality)



Ως αποτέλεσμα των αλληπάλληλων ανακλάσεων μεταξύ των κατόπτρων της κοιλότητας η ενισχυόμενη ακτινοβολία είναι εκείνη που διαδίδεται κατα μήκος του άξονα της κοιλότητας.

Κατα συνέπεια η προκύπτουσα δέσμη λέιζερ χαρακτηρίζεται από υψηλή κατευθυντικότητα (highly collimated beam) και ως εκ τούτου επιτρέπει τη διάδοση της ακτινοβολίας με ελάχιστη απόκλιση για ιδιαίτερα μεγάλες αποστάσεις.

Το αίτιο για την απόκλιση απο την ιδανική συγγραμμικότητα είναι η περίθλαση.

Άσκηση

Να προσδιορίσετε τη διατομή δέσμης λέιζερ, μήκους κύματος $\lambda = 500 \text{ nm}$, σε απόσταση 1 km από το λέιζερ αν στην έξοδο της κοιλότητας η διάμετρος της δέσμης είναι $d_0 = 5 \text{ mm}$.

Χαρακτηριστικά ακτινοβολίας λέιζερ

Μονοχρωματικότητα (Monochromaticity)

Αν και λόγω της αρχής της αβεβαιότητας δεν είναι εφικτό να παραχθεί ιδανικώς μονο-χρωματική ακτινοβολία, οι πηγές λέιζερ παράγουν υψηλής φασματικής «καθαρότητας» ακτινοβολία.

Στο ορατό, τυπικές τιμές συχνότητας είναι : $\nu \approx 5 \times 10^{14}$ Hz

Τυπικό φασματικό εύρος λέιζερ : $\Delta\nu \approx 1 \times 10^2$ Hz

Με ειδικές τεχνικές επιτυγχάνεται μέχρι $\Delta\nu \approx 1$ Hz

Μονοχρωματικότητα : $\Delta\nu/\nu \approx 2 \times 10^{-13}$

Κεντρικό ρόλο στην επίτευξη υψηλής μονοχρωματικότητας παίζει το φάσμα ενίσχυσης του ενεργού υλικού για τη συγκεκριμένη μετάβαση λέιζερ (gain profile) και οι ρυθμοί της κοιλότητας.

Άσκηση

Να αναζητήσετε πληροφορίες για 2-3 εμπορικώς διαθέσιμα λέιζερ και να αναφέρετε τις προδιαγραφές τους όσον αφορά το φασματικό εύρος (bandwidth) της εκπεμπόμενης ακτινοβολίας. Να υπολογίσετε χαρακτηριστικές τιμές $\Delta\nu/\nu$.

Χαρακτηριστικά ακτινοβολίας λέιζερ

Διαμήκεις ρυθμοί (longitudinal modes) της κοιλότητας του λέιζερ



$$n \frac{\lambda}{2} = d \Rightarrow n \frac{c}{2\nu} = d \Rightarrow \nu = n \frac{c}{2d} \Rightarrow$$

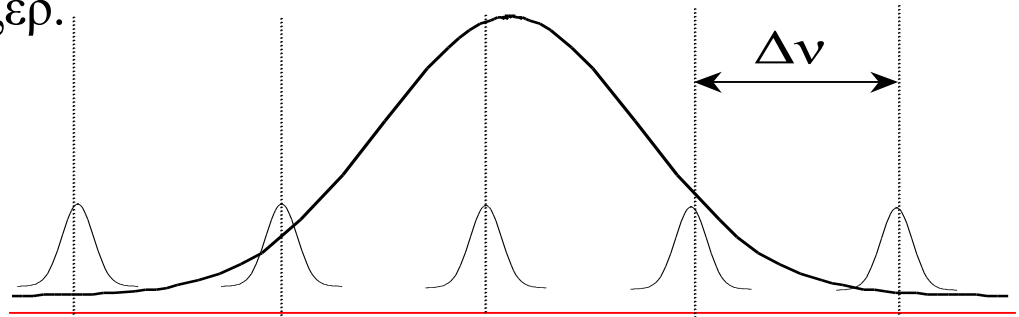
$$\Delta \nu = \nu(n+1) - \nu(n) = \frac{c}{2d}$$

Π.χ. Εάν $d = 15 \text{ cm}$ τότε $\Delta \nu = 10^9 \text{ Hz} = 1 \text{ GHz}$



Η μετάβαση μεταξύ των (δύο) επιπέδων που εμπλέκονται στην δράση του λέιζερ έχει ένα **φασματικό εύρος (gain profile)** το οποίο προσδιορίζεται από τα χαρακτηριστικά και τη συνολική διαπλάτυνση των δύο καταστάσεων.

Ο αριθμός των διαμήκων ρυθμών της κοιλότητας, που ενισχύονται και συνεισφέρουν στη δράση λέιζερ ευρίσκονται αναγκαστικά εντός του φασματικού εύρους της μετάπτωσης του λέιζερ.



Χαρακτηριστικά ακτινοβολίας λέιζερ

Διαμήκεις ρυθμοί (longitudinal modes) της κοιλότητας του λέιζερ

ΑΞΟΝΚΕΘΙ

WH 5.9.1 / Υπομνησ 8.3

Συνθήκη κοιλότητας λέιζερ: $n\lambda = 2d$ (1)

$$\lambda = \frac{c}{\nu} \Rightarrow \frac{nc}{\nu} = 2d \Rightarrow \nu = n \frac{c}{2d} \quad (2)$$

$\Delta\nu = \frac{c}{2d}$: mode spacing

↳ 0 όρος $\frac{c}{2d}$ δηλώνει τη διαφορά συχνοτήτων που υποστηρίζει η κοιλότητα [mode spacing].

Σύνταξι υπολογιστικό:

Έστω $d = 50 \text{ cm}$ $\rightarrow \Delta\nu_m = \frac{3 \cdot 10^{10} \text{ cm s}^{-1}}{2 \cdot 50 \text{ cm}} = 300 \text{ MHz}$ (recall: $300 \text{ nm} \leftrightarrow 1 \cdot 10^{15} \text{ Hz}$)

Για $\lambda = 400 \text{ nm}$ $\Delta\tilde{\nu}_m = \frac{1}{2 \cdot 50 \text{ cm}} = 0.01 \text{ cm}^{-1}$ (recall: $300 \text{ nm} \leftrightarrow 33333 \text{ cm}^{-1}$)

$$n = \frac{2d}{\lambda} = \frac{1 \cdot 10^9 \text{ nm}}{400 \text{ nm}} \quad \Delta\lambda_m = -\frac{c}{\nu^2} \Delta\nu \left(n - \frac{c}{\nu^2} \Delta\nu \right) = 9 \cdot 10^{-5} \text{ nm} !!!$$

$= 2.5 \cdot 10^6$ wavelengths

(2) Έστω ότι $\nu' = n' \frac{c}{2d}$ με $n' = n \pm 1 \Rightarrow \Delta\nu = \pm \frac{c}{2d}$ ✓

Έστω ότι $\lambda' = n' \frac{c}{2d}$ με $n' = n \pm 1 \Rightarrow \frac{\lambda'}{\lambda} = \frac{n \pm 1}{n} = 1 \pm \frac{1}{n} \Rightarrow \Delta\lambda = \lambda' - \lambda = \mp \frac{\lambda}{n}$

Χαρακτηριστικά ακτινοβολίας λέιζερ

Διαμήκεις ρυθμοί (longitudinal modes) της κοιλότητας του λέιζερ

Τι σημαίνει η φράση συχνότητες (κινών κώταρος)?

Θεωρούμε ατομική κελύβας, οι αέριοι

$$\alpha) \text{ Υπο συνθήκη φυσικής διαγνώσεως } \Delta \tilde{\nu} = \left(\frac{531}{50 \text{ ps}} \right) \text{ cm}^{-1} \quad \text{Αν } \tau \approx 5.3 \text{ ns} \rightarrow \Delta \tilde{\nu} = 10^{-3} \text{ cm}^{-1}$$

$$\beta) \text{ ————— αποδέχεται } \text{ } \tau \approx 5.3 \text{ ps} \rightarrow \Delta \tilde{\nu} = 1 \text{ cm}^{-1}$$

γ) Υπο συνθήκη διαγνώσεως Doppler

$$\Delta \nu = 7.16 \cdot 10^{-7} \nu_0 \sqrt{\frac{T(\text{K})}{M(\text{amu})}}$$

$$T \approx 400 \text{ K}$$

$$\nu_0 = 6.1475 \cdot 10^{14} \text{ Hz}$$

$$M = 40 \text{ amu (ηχ Ar)}$$

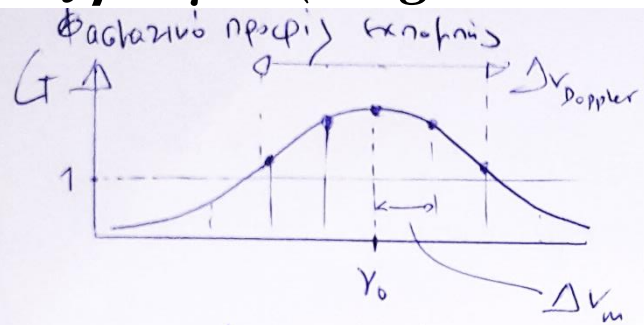
$$\lambda = 488 \text{ nm (Ar}^+) \text{)}$$

$$\Delta \nu = 1.3925 \text{ GHz} \quad \text{ή } \Delta \tilde{\nu} = 0.0464 \text{ cm}^{-1}$$

$$\text{Αλλά } \Delta \nu_m = 300 \text{ MHz} \quad \text{ή } \Delta \tilde{\nu}_m = 0.01 \text{ cm}^{-1}$$

Χαρακτηριστικά ακτινοβολίας λέιζερ

Διαμήκεις ρυθμοί (longitudinal modes) της κοιλότητας του λέιζερ



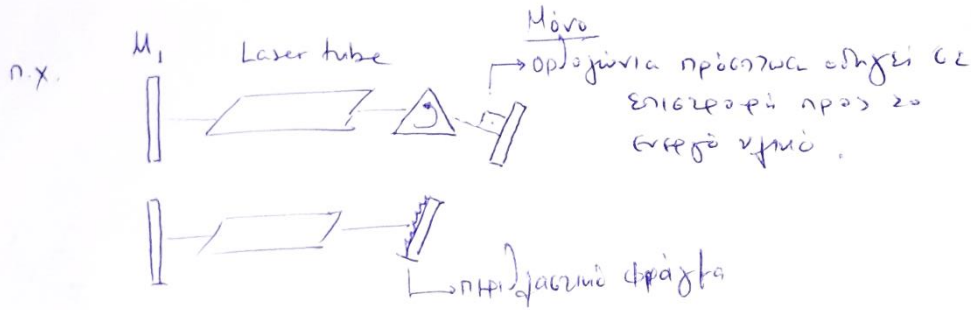
Διαμήκεις ή Αξονικοί Ρυθμοί Κοιλότητας

Αρα εντός του φασματικού προφίλ γραμμής $g(\nu)$ η υαίγουμε υποστηρίζει ημίον τον ενός ρυθμής ζαζόνζαας.

Εν τώχτι επικριώνον εκάσαι οι ρυθμοί (λ) που υπερβαίνουν τω παζώφτι zait.

Για εφεαφής φασματοενοπίας απαιτείται χεινεργία "single line"

Απαίτηται χρία παζώφτου οπτιμού εκός η εκός της υαίγουμεας γα την ταιζοχί του ταιζοφτιού λ καη τω ασίρηττ των άνεζομιοσικιών.



Συντελεστής Q (ποιότητας)

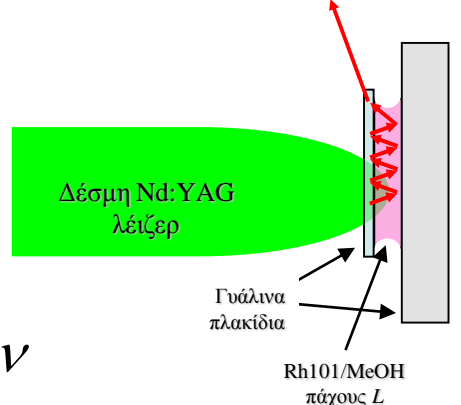
$$Q = \frac{2\pi * \text{ενέρχτα που αποθηκεύεται στην υαίγουμεα}}{\text{ενέρχτα που απασαράται}} = \frac{\text{συχνόζαα συνζουσθού}}{\text{τύπος σπαθής}} = \frac{\nu}{\delta \nu}$$

Χαρακτηριστικά ακτινοβολίας λέιζερ

Διαμήκεις ρυθμοί (longitudinal modes) της κοιλότητας του λέιζερ

κοιλότητα ~0.1 mm

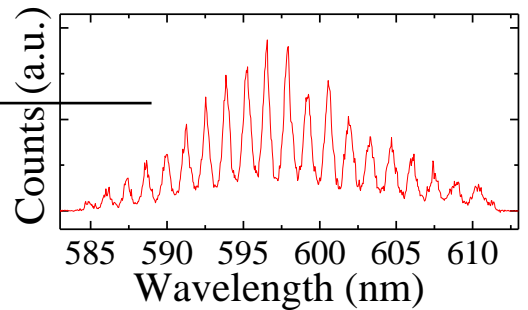
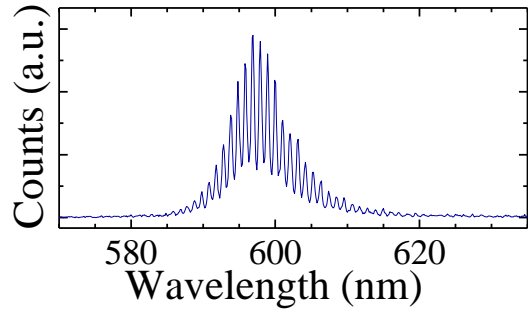
Εκπεμπόμενη ακτινοβολία



$$\Delta \nu = \frac{c}{2d}$$

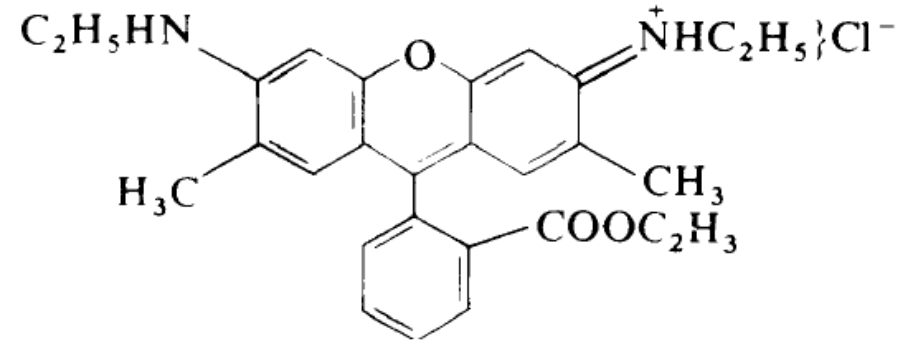
$$\Delta \lambda \approx \frac{c \Delta \nu}{\nu^2} = \frac{\lambda^2}{c} \Delta \nu$$

$$\Delta \lambda = \frac{\lambda^2}{2d}$$



Μεθανολικό διάλυμα της οργανικής χρωστικής R101 (Ροδαμίνη 101) τοποθετημένο μεταξύ 2 γυάλινων πλακιδίων (ισοδυναμεί με κυψελίδα οπτικού δρόμου ~ d) αντλείται με παλμικό λέιζερ Nd:YAG που εκπέμπει στα 532 nm με αποτέλεσμα να παρατηρείται δράση λέιζερ από τη χρωστική στην περιοχή των 600 nm με χαρακτηριστικούς διαμήκεις ρυθμούς με $\Delta \lambda = 1,37$ nm.

Να προσδιορισθεί η αντίστοιχη τιμή του d καθώς και η οπτική διαδρομή της κοιλότητας, d .



Χαρακτηριστικά ακτινοβολίας λέιζερ

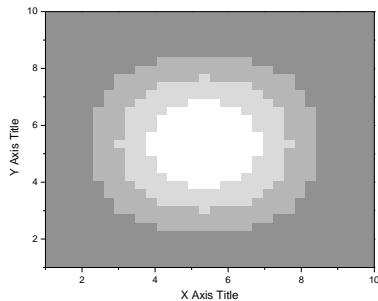
Εγκάρσιοι ρυθμοί (*transverse modes*) της κοιλότητας του λέιζερ

Η κοιλότητα του λέιζερ φαντάζει σαν ένα τρισδιάστατο πηγάδι (φρεάτιο)
Δύο από αυτές τις διαστάσεις είναι κάθετες στην διεύθυνση διάδοσης του φωτός
και η κατανομή της έντασης περιγράφεται με τους *εγκάρσιους τρόπους* –
transverse electric modes (TEM_{ml}) όπου m και l είναι ο αριθμός των κομβικών
επιπέδων στην κατακόρυφη και οριζόντια διεύθυνση αντιστοίχως.
Οι λύσεις του διδιάστατου σωματιδίου σε φρεάτιο είναι γνωστές.

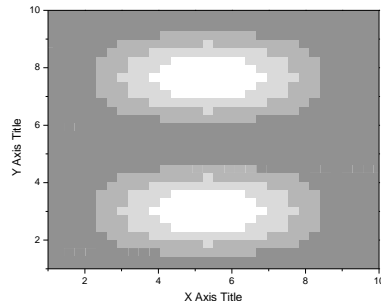
$$\Psi_n(x) = \sqrt{\frac{2}{L}} \sin\left(\frac{n\pi}{L}x\right).$$

$$\Psi_{n_x n_y}(x, y) = \Psi_{n_x}(x)\Psi_{n_y}(y)$$

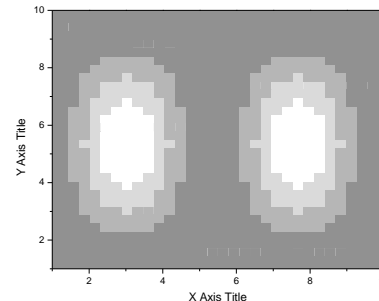
TEM_{00}



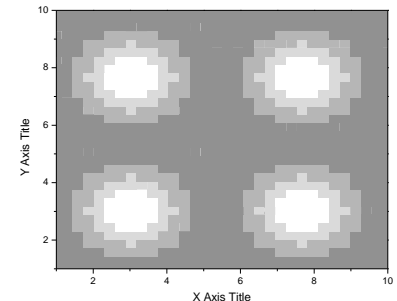
TEM_{01}



TEM_{10}



TEM_{11}



Χαρακτηριστικά ακτινοβολίας λέιζερ

Εγκάρσιοι ρυθμοί (transverse modes) της κοιλότητας του λέιζερ

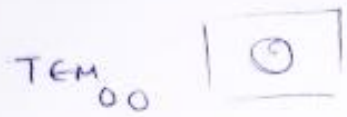
Εγκάρσιοι ρυθμοί WH 5.9.2

Κύματα που δίνονται ταξιδεύουν αξονικά είναι άφικτο να κωδικοποιηθούν

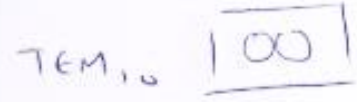
π.χ. η-κύμα



λόγω της ανισότητας του $E \perp \omega$ προς τον άξονα τα κύματα αυτά παράγουν εγκάρσιους ρυθμούς (TEM: transverse electromagnetic modes)



TEM₀₀: φασματική καθαρότητα



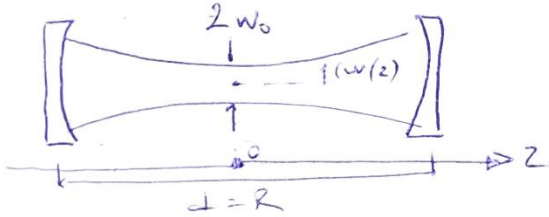
TEM_{high}: υψηλό ισχύος

Χαρακτηριστικά ακτινοβολίας λέιζερ

Εγκάρσιοι ρυθμοί (transverse modes) της κοιλότητας του λέιζερ

Έστω σφαιρική κοιλότητα (confocal resonator)

$R_1 = R_2 = R = d$
 αυτίνα κατόπτρου
 απόσταση



Η διατομή φωτός στην παράση δέχεται το χωρικό προφίλ Gauss.

H.Π.
$$E_{nm}(x,y) = C \cdot \underbrace{H_m^*(x)}_{\substack{\text{παράση} \\ \text{κανονικοποίησης}}} \cdot \underbrace{H_n^*(y)}_{\substack{\text{παράση} \\ \text{Hermite}}} \cdot \underbrace{e^{-r^2/w^2}}_{\text{φάση}} \cdot \underbrace{e^{-i\phi(z,r,R)}}_{\phi(z,r)} \quad \text{στο επίπεδο } z$$

$x^* = \sqrt{2} x/w$
 $y^* = \sqrt{2} y/w$
 $r = \sqrt{x^2 + y^2}$
 και αυτίνα r
 στο z άξονα

(TEM₀₀): $I(x,y,z) \sim I_0 e^{-2r^2/w^2}$

$(E_{00} \cdot E_{00}^*)$

$w(z) = w_0 \sqrt{1 + \left(\frac{z}{z_0}\right)^2} \quad (z_0 = d/2)$

center
 $z = 0 \rightarrow w_0$
 $z = \pm d/2 \text{ (mirrors)} \rightarrow \sqrt{2} w_0$
 $z = z_0$

$w_0(z_0) = \sqrt{\frac{\lambda R}{2\pi}} = \text{beam waist}$
 οφύς δέχης

$w^2(z) = \frac{\lambda d}{2\pi} \left[1 + \left(\frac{2z}{d}\right)^2 \right]$

↓
 $\lambda = 632.8 \text{ nm}$
 $R = d = 30 \text{ cm}$
 $w_0 = 0.17 \text{ mm}$

Χαρακτηριστικά ακτινοβολίας λέιζερ

Συμφωνία (Coherence)

Η συμφωνία μιάς δέσμης λέιζερ υποδηλώνει το ότι τα κύματα ηλεκτρομαγνητικής ακτινοβολίας ευρίσκονται σε φάση.

Αλλά εξαιτίας του πεπερασμένου φασματικού εύρους $\Delta\nu$, οι διαφορετικού μήκους κύματος συνιστώσες της δέσμης λέιζερ τελικά καταλήγουν να ταλαντώνονται εκτός φάσης.

Προφανώς υψηλή μονοχρωματικότητα δέσμης συνεπάγεται υψηλή συμφωνία.

Χρονική συμφωνία : Ο χρόνος, τ_c , ο οποίος μεσολαβεί έτσι ώστε δύο H/M κύματα με διαφορά συχνότητας $\Delta\nu$ να έλθουν εκτός φάσης κατα ένα πλήρη κύκλο.

Χρόνος συμφωνίας (coherence time) : $\tau_c = 1/\Delta\nu$

Η χρονική συμφωνία εκφράζεται και με βάση το:

Μήκος συμφωνίας (coherence length) : $l_c = \lambda^2/\Delta\lambda$

Χωρική συμφωνία (spatial coherence) : Εκφράζει τη συμφωνία σε μία κάθετη διατομή της δέσμης.

Άσκηση

Να υπολογίσετε το μήκος συμφωνίας της κίτρινης γραμμής του Na, θεωρώντας διαπλάτυνση Doppler και να το συγκρίνετε με το αντίστοιχο ενός λέιζερ He-Ne.

Χαρακτηριστικά ακτινοβολίας λέιζερ

Λαμπρότητα (Brightness), Ισχύς (Power), Ενέργεια (Energy)

Ισχύς ακτινοβολίας (Radiant Power): P (W)

Radiance : $L = P / A \Delta\Omega$ (W/cm² sr) A : διατομή πηγής

Πυκνότητα ενέργειας (Radiant energy density) : ρ (J/m³)

Φασματική πυκνότητα ισχύος (Spectral power density): $P(\nu)$ (W/Hz)

Λαμπρότητα (Brightness) : $\beta_\nu = P(\nu) / A \Delta\Omega \Delta\nu$ (W/cm² sr Hz)

Φασματική ένταση (Intensity) : $I(\nu) = P(\nu) / A \Delta\nu$ (W/cm² Hz)

Ηλιος : β (580 nm; 5800 K) $\approx 1,5 \times 10^{-12}$ W/cm² sr Hz

Λέιζερ He-Ne, $P=1$ mW β (632,8 nm; $\Delta\nu=1 \times 10^4$ Hz) ≈ 25 W/cm² sr Hz

Ενέργεια παλμού λέιζερ (pulse energy) : $E = \int P(t)dt$ (J)

Ισχύς παλμού (Peak power) : $P = E/\Delta\tau$ $\Delta\tau$: χρονικό εύρος παλμού (FWHM)

Ροή ισχύος (Irradiance, Power density) : $I = P/A$

Ροή ενέργειας (Energy density) : $F = E/A$

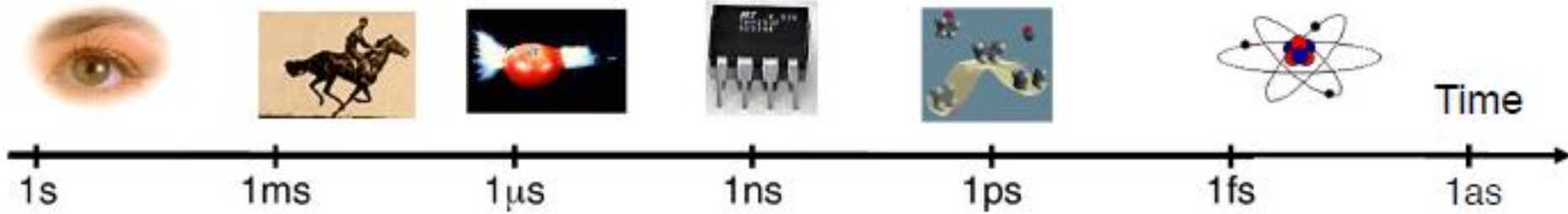
A : διατομή ακτινοβολούμενης επιφάνειας

Άσκηση

Να επιβεβαιώσετε το αποτέλεσμα των ανωτέρω υπολογισμών των τιμών βν.

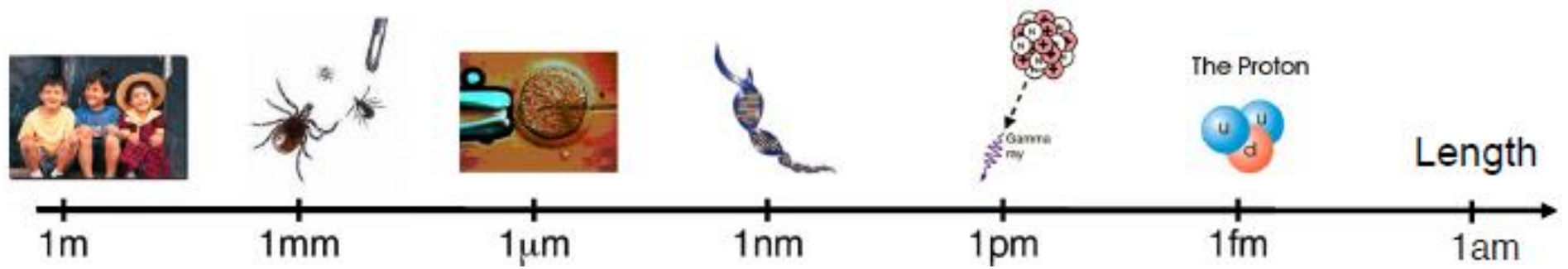
Παλμικά Λείζερ

Για τη μελέτη ταχέων φαινομένων (χρον. κλίμακα: ps, ns, μs, ms) απαιτούνται πηγές παλμικής ακτινοβολίας αντίστοιχα στενής χρονικής διάρκειας.



https://en.wikipedia.org/wiki/Eadweard_Muybridge

1 picosecond = 1 ps = 10^{-12} s
1 femtosecond = 1 fs = 10^{-15} s
1 attosecond = 1 as = 10^{-18} s



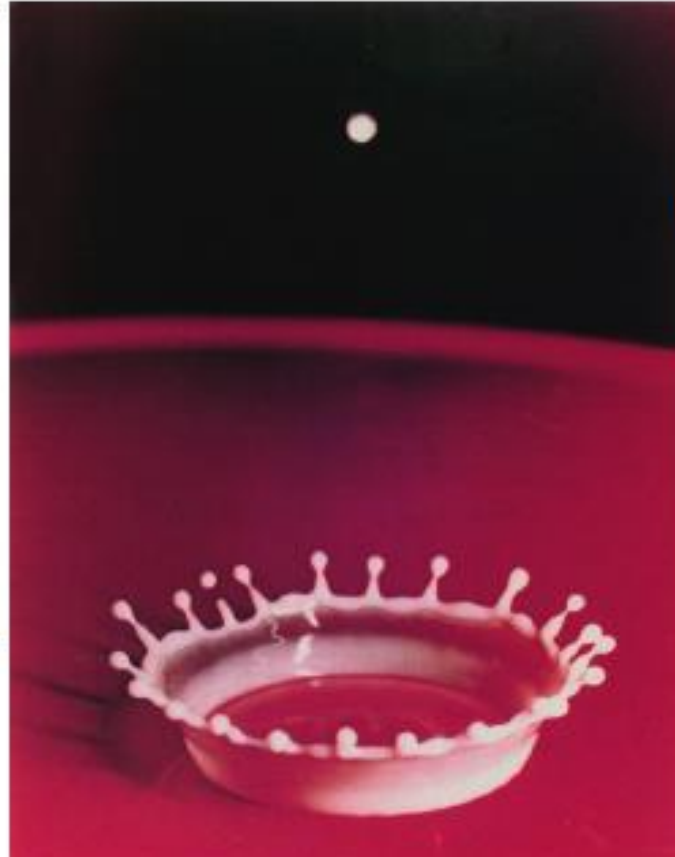
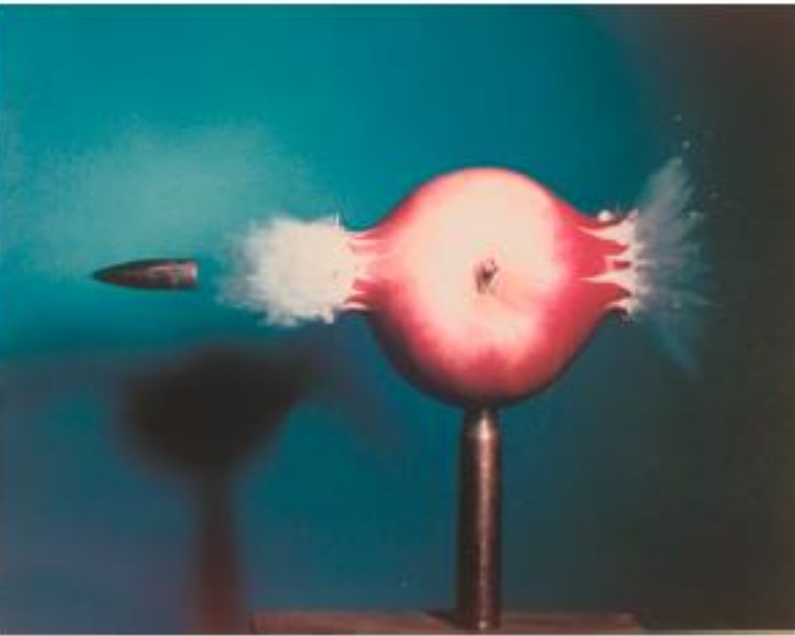
Παλμικά Λείζερ

Για τη μελέτη ταχέων φαινομένων (χρον. κλίμακα: ps, ns, μ s, ms) απαιτούνται πηγές παλμικής ακτινοβολίας αντίστοιχα στενής χρονικής διάρκειας.

Electronics

⇒ triggered flash lamps

⇒ $< \mu$ s time resolution (around 1935)



Harold E. Edgerton, MIT
1903-1990

Παλμικά Λείζερ

Για τη μελέτη ταχέων φαινομένων (χρον. κλίμακα: ps, ns, μs, ms) απαιτούνται πηγές παλμικής ακτινοβολίας αντίστοιχα στενής χρονικής διάρκειας.

Παλμικές λυχνίες (flash lamps) παράγουν παλμούς ακτινοβολίας στην κλίμακα των ns, μs, όμως με ευρύ φασματικό εύρος, το οποίο συνεπάγεται ότι η ενέργεια παλμού είναι εξαιρετικά χαμηλή στην περίπτωση που απαιτείται σχετικά μονοχρωματική διέγερση.

Παλμικές πηγές λείζερ παράγουν ακτινοβολία υψηλής μονοχρωματικότητας περιορισμένη σε μικρή χρονική διάρκεια, της τάξης των λίγων ns.

Παραγωγή παλμών λείζερ κατόπιν οπτικής διέγερσης ενεργού υλικού το οποίο χαρακτηρίζεται από:

a) τ_i πολύ μικρό
 A_{10} : υψηλή τιμή
 π.χ. Excimer Laser

b) $\tau_i > \tau_k$
 αυτό-τερματιζόμενη
 δράση λείζερ
 π.χ. Λείζερ N_2

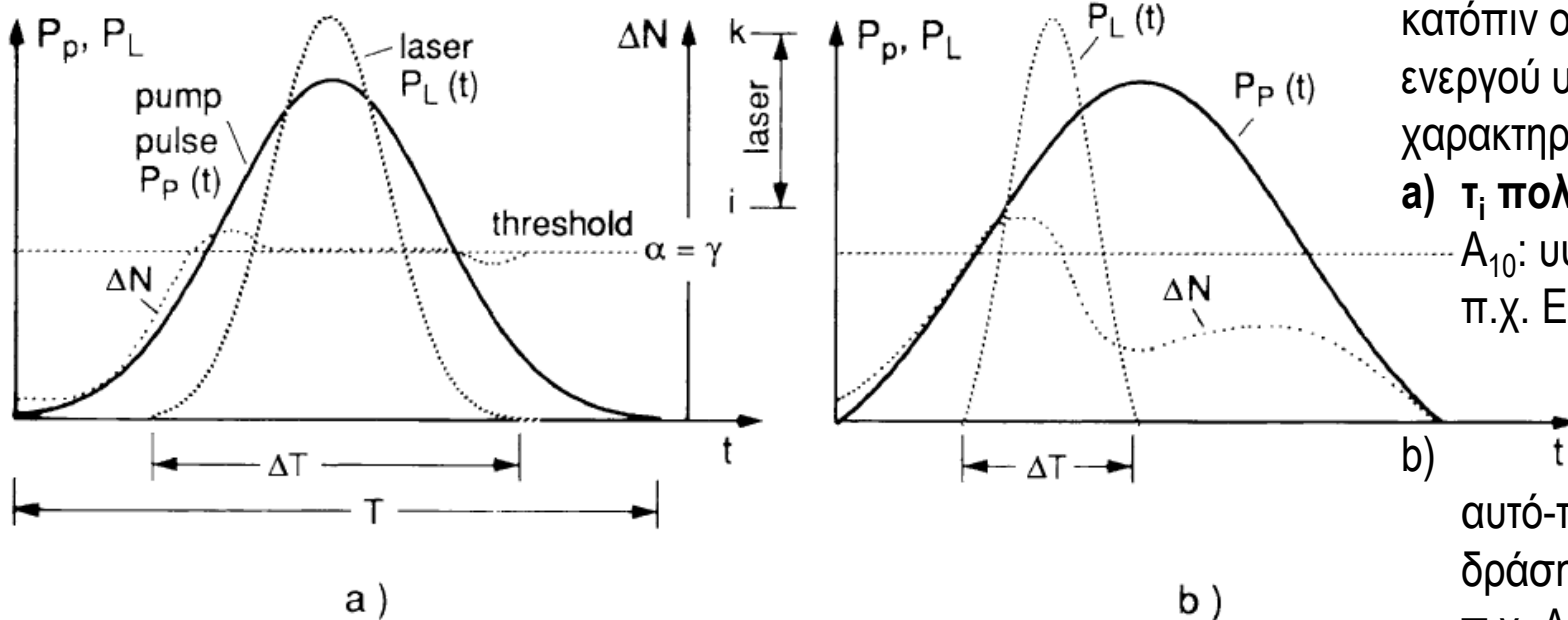
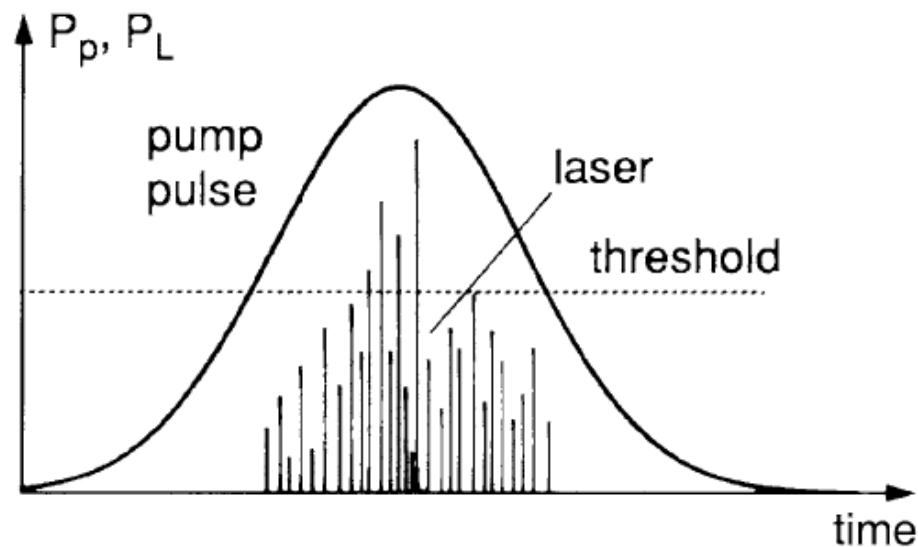


Fig. 6.1a,b. Time profiles of the pump power $P_p(t)$, the inversion density $\Delta N(t)$, and laser output power $P_L(t)$: (a) for sufficiently short lifetime τ_i of the lower laser level; and (b) for a self-terminating laser with $\tau_i^{eff} > \tau_k^{eff}$

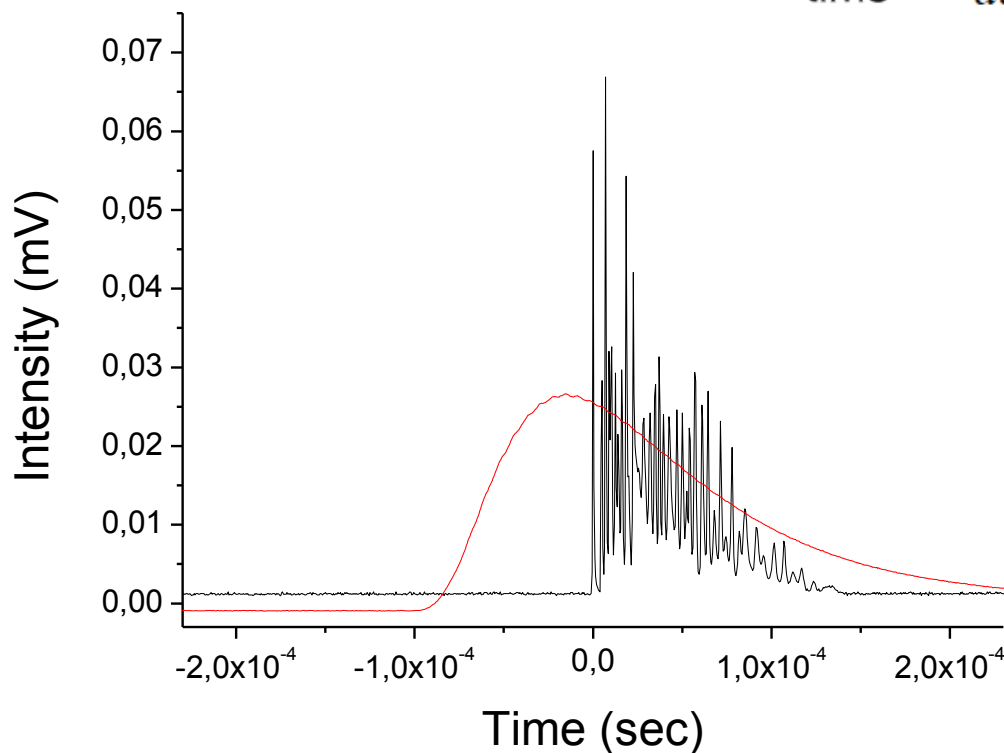
Παλμικά Λείζερ



c) τ_i, τ_k : πολύ αργό επανειλημμένοι κύκλοι αναστροφής πληθυσμού και εξαναγκασμένης εκπομπής οδηγούν σε εμφάνιση αλληλοδιάδοχων παλμών.

Πώς επιτυγχάνεται λειτουργία ενός παλμού?

Fig. 6.2. Schematic representation of spikes in the emission of a flashlamp-pumped solid-state laser with long relaxation times τ_i, τ_k



Παλμικά Λείζερ (Q-switching)

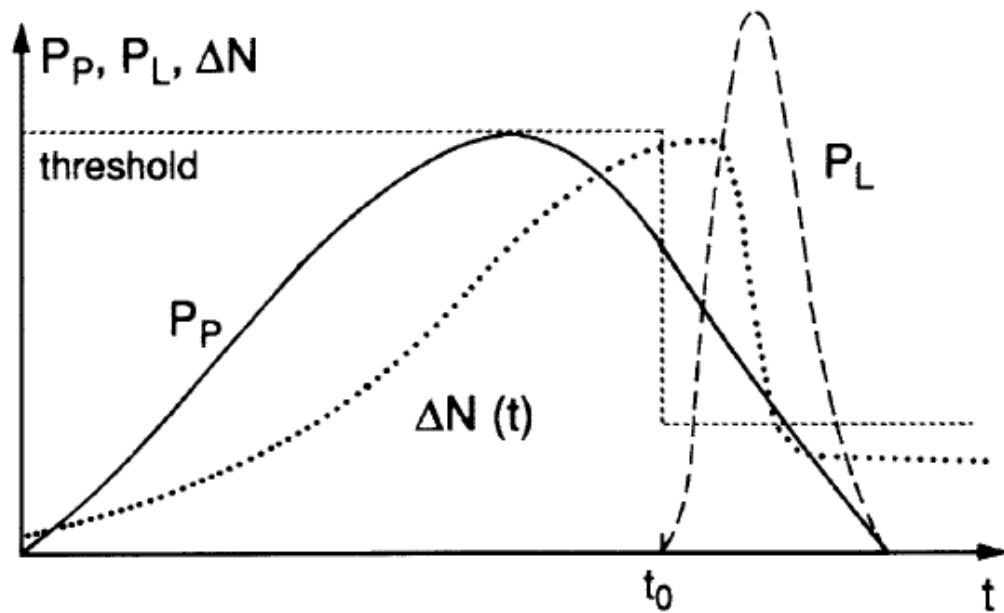
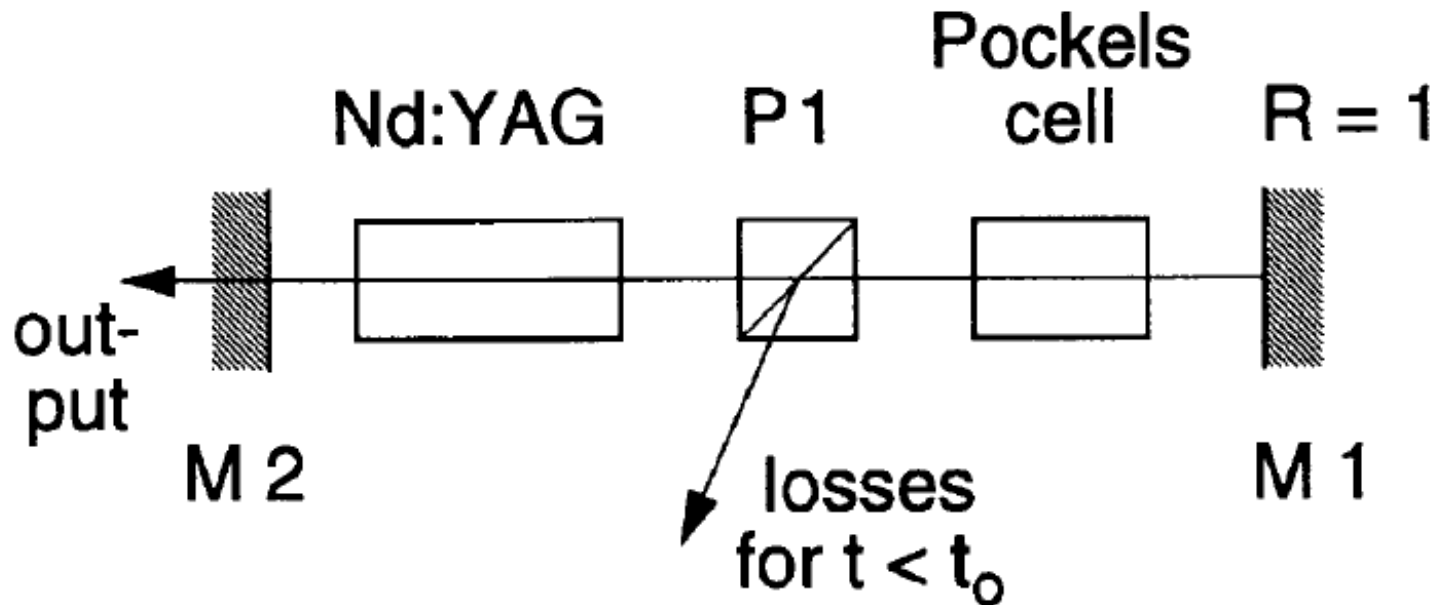


Fig. 6.3. Pump power $P_p(t)$, resonator losses $\gamma(t)$, inversion density $\Delta N(t)$, and laser output power $P_L(t)$ for a Q-switched laser



Παλμικά Λείζερ (Εγκλείδωση ρυθμών – Mode Locking)

Μια κοιλότητα λέιζερ συνεχούς λειτουργίας (cw) υποστηρίζει σημαντικό αριθμό διαμήκων ρυθμών (συχνοτήτων ω) του ΗΠ εντός της φασματικής καμπύλης απολαβής.

$$E_m(t) = E_0 \exp[i(\omega_m t + \delta_m)]$$

Η συχνότητες που υποστηρίζει η κοιλότητα είναι:

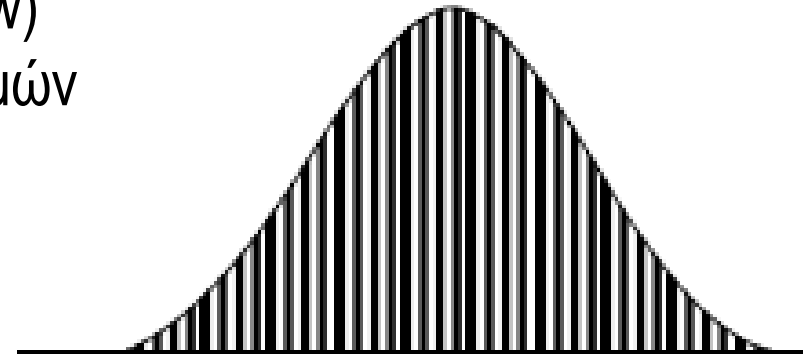
$$\omega_m = \omega_0 \pm m 2\pi(c/2d) = \omega_0 \pm m \Delta\omega$$

Εν γένει, η φάση δ_m κάθε ρυθμού είναι τυχαία.

Το συνολικό ΗΠ, $\mathbf{E}(t)$, προκύπτει ως υπέρθεση των ΗΠ για κάθε ρυθμό, $\mathbf{E}_m(t)$. (Σύνολο: $\mathbf{N} = 2\mathbf{m}+1$)

$$E(t) = \sum_{-m}^m E_m(t) = E_0 \sum_{-m}^m \exp[i(\omega_m t + \delta_m)]$$

Λόγω της τυχαίας φάσης των ρυθμών (ασύμφωνη υπέρθεση) η ένταση της ακτινοβολίας εξόδου, $I(t) \sim \mathbf{E}^*(t) \mathbf{E}(t)$ είναι χαμηλή και ασταθής ($I_{\max} \sim \mathbf{N} E_0^2$).

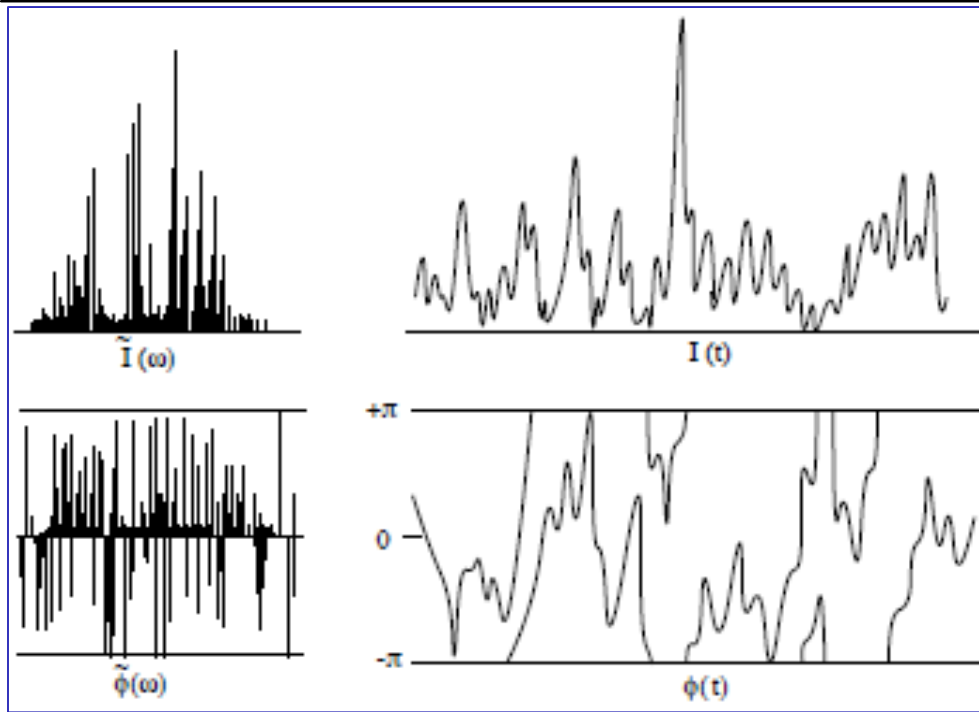


$$\tilde{I}(\omega)$$

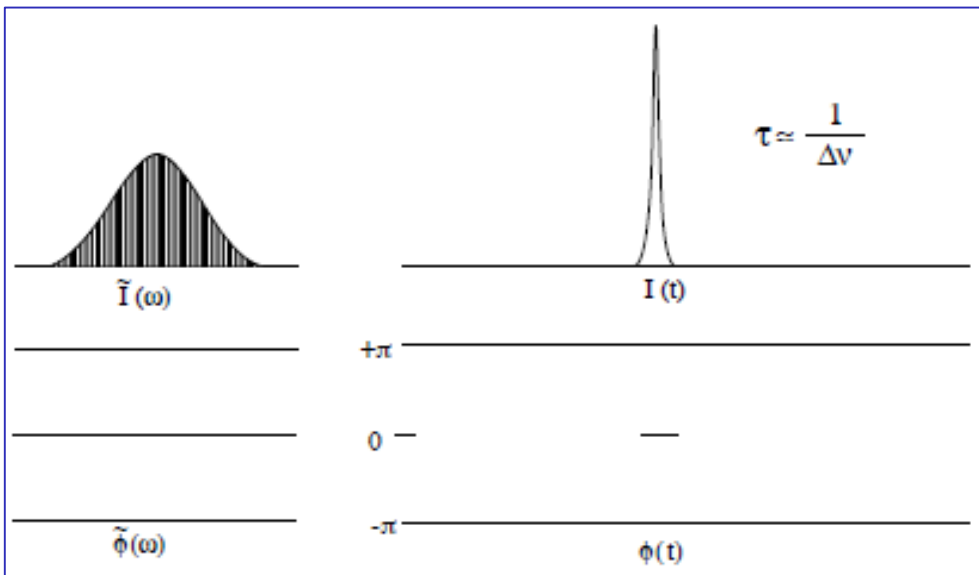
$$n \frac{\lambda}{2} = d \Rightarrow n \frac{c}{2\nu} = d \Rightarrow \nu = n \frac{c}{2d} \Rightarrow$$

$$\Delta\nu = \nu(n+1) - \nu(n) = \frac{c}{2d}$$

Παλμικά Λείζερ (Εγκλείδωση ρυθμών – Mode Locking)



Ασύμφωνη υπέρθεση ρυθμών με τυχαίο πλάτος ταλάντωσης, E_m , και τυχαία φάση, δ_m , οδηγεί σε ασθενή και ασταθή ισχύ εξόδου κοιλότητας, $I(t)$ με $I_{\max} \sim \sum E_m^2$.



Σύμφωνη υπέρθεση ρυθμών με πλάτος ταλάντωσης, E_m , που ικανοποιεί την καμπύλη απολαβής της μετάβασης, $I(\omega)$, και με σταθερή φάση, δ , οδηγεί σε δημιουργία στενών παλμών, $I(t)$ με $I_{\max} \sim (\sum E_m)^2$.

Παλμικά Λείζερ (Εγκλείδωση ρυθμών – Mode Locking)

Τι θα συμβεί αν η υπέρθεση πραγματοποιηθεί σε ρυθμούς με την ίδια φάση δ (coherent superposition) ??  **Mode Locking**

Η σύμφωνη υπέρθεση (εγκλείδωση ρυθμών) παράγει χρονικά στενούς παλμούς ακτινοβολίας.

$$E(t) = \sum_{-m}^m E_m(t) = E_0 \sum_{-m}^m \exp[i(\omega_m t + \delta)]$$

$$\omega_m = \omega_0 \pm m 2\pi(c/2d) = \omega_0 \pm m \Delta\omega$$

$$E(t) = E_0 \exp[i(\omega_0 t + \delta)] \sum_{-m}^m \exp[im\Delta\omega t]$$

$$E(t) = E_0 \exp[i(\omega_0 t + \delta)] \frac{\sin(N\Delta\omega t/2)}{\sin(\Delta\omega t/2)}$$

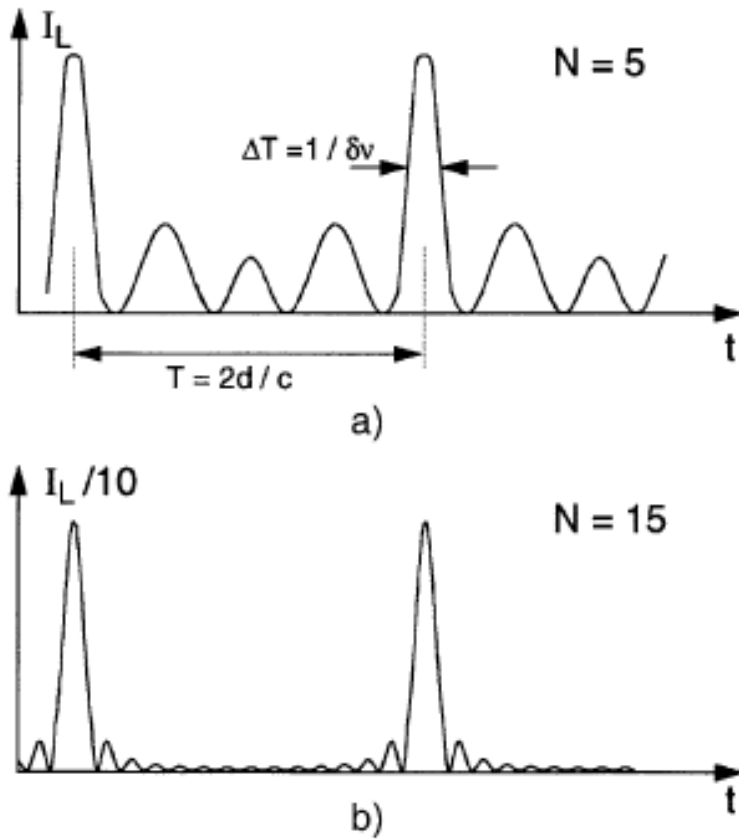
$$I(t) \sim \left(E_0 \frac{\sin(N\Delta\omega t/2)}{\sin(\Delta\omega t/2)} \right)^2$$

Περιγραφή του προφίλ (περιβάλλουσας) της χρονικής μεταβολής της έντασης, $I(t)$.

$$I(t) \sim \left(E_0 \frac{\sin(N\Delta\omega t/2)}{\sin(\Delta\omega t/2)} \right)^2 \cos^2(\omega_0 t)$$

Ακριβής περιγραφή της έντασης, $I(t)$, λαμβάνοντας υπόψη και τη συχνότητα ω_0 .

Παλμικά Λείζερ (Εγκλείδωση ρυθμών – Mode Locking)



$$I(t) \sim \left(E_0 \frac{\sin(N\Delta\omega t/2)}{\sin(\Delta\omega t/2)} \right)^2$$

$$I_{\max} \sim (NE_0)^2.$$

Χρονική απόσταση μεταξύ διαδοχικών παλμών (τ) [round trip time]

Ρυθμός επανάληψης (Repetition rate, r)

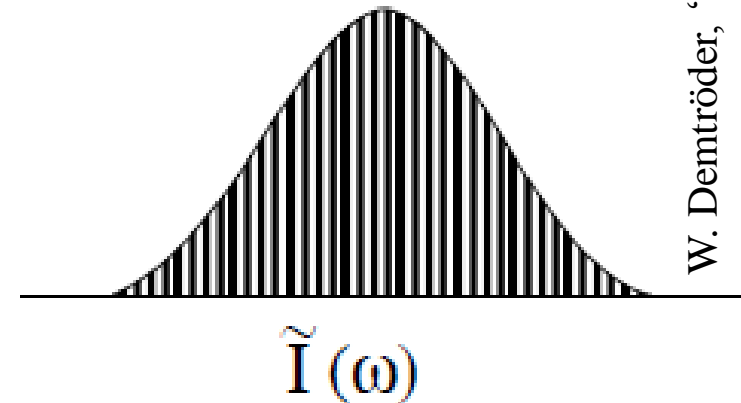
$$r = (1/\tau) = (\Delta\omega/2\pi) = \Delta\nu = (c/n2d)$$

Fig. 6.9a,b. Schematic profile of the output of a mode-locked laser: (a) with 5 modes locked; (b) with 15 modes locked

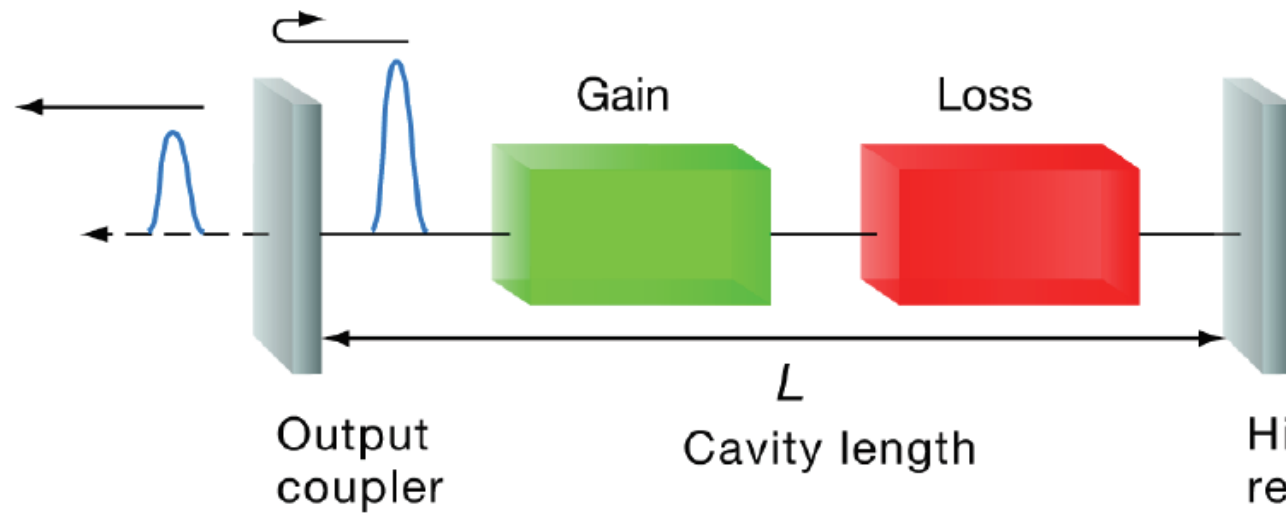
Χρονικό εύρος παλμού (τ_p)

$$\tau_p \approx (2\pi/N\Delta\omega) = (1/N\Delta\nu)$$

$$N \approx \delta\nu_{\text{GAIN}}/\Delta\nu$$



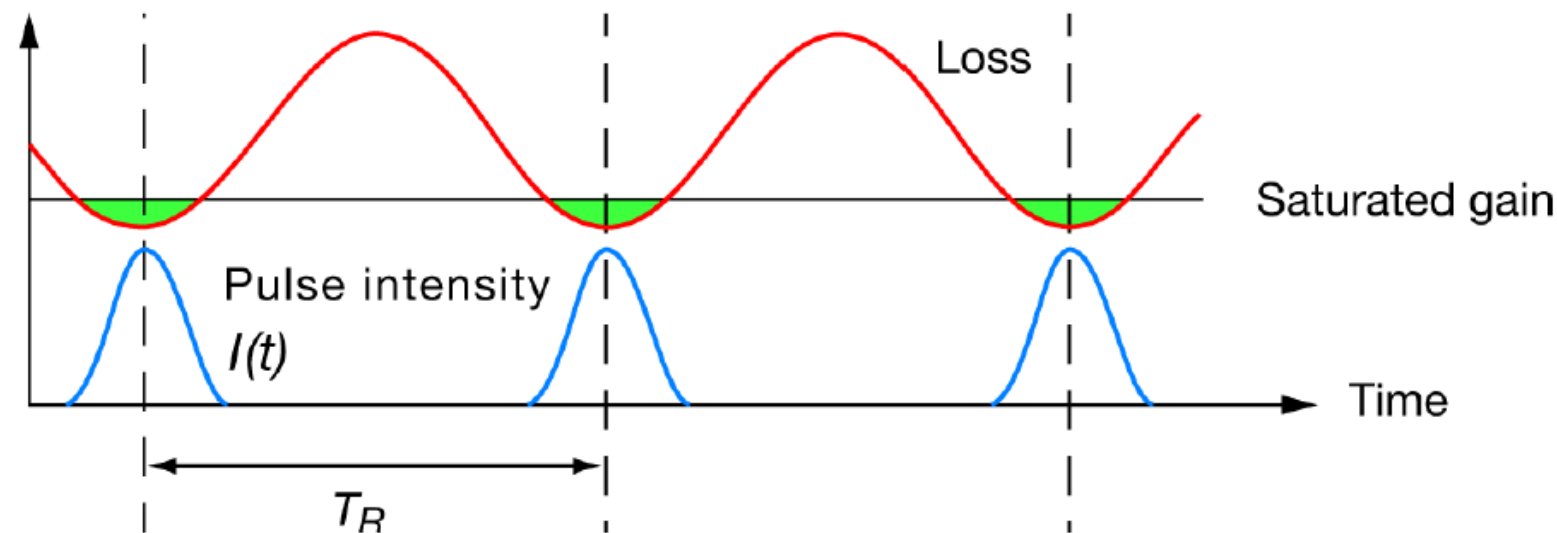
Παλμικά Λείζερ (Εγκλείδωση ρυθμών – Mode Locking)



Ενεργητική εγκλείδωση
(Active mode-locking)

Εισάγεται στην κοιλότητα κατάλληλο **ηλεκτρο-οπτικό** ή **ακουστο-οπτικό** στοιχείο το οποίο με κατάλληλη συχνότητα ($\Delta\omega$) αυξομειώνει τον παράγοντα απωλειών, γ

Active modelocking



Παθητική εγκλείδωση (Passive mode-locking) : Με χρήση κατάλληλων χρωστικών των οποίων η απορρόφηση μειώνεται με αύξηση της έντασης (κορέσιμος απορροφητής).

Παλμικά Λείζερ (Εγκλείδωση ρυθμών – Mode Locking)

Παράδειγμα

Λείζερ ιόντων αργού (Ar^+)

$$\lambda = 514.5 \text{ nm}, \Delta\lambda = 0.0044 \text{ nm}, \delta\nu_{\text{GAIN}} = 5 \text{ GHz}$$

Μήκος κοιλότητας $d = 1.5 \text{ m}$

Ρυθμός επανάληψης (Repetition rate, r)

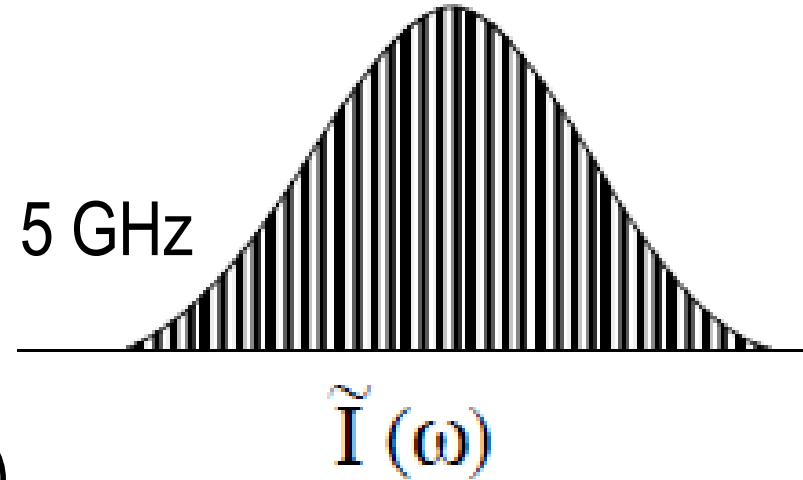
$$r = (1/\tau) = \Delta\nu = (c/2d) = 10^8 \text{ Hz} = 100 \text{ MHz} \Rightarrow \tau = 10 \text{ ns}$$

Χρονικό εύρος παλμού (τ_p)

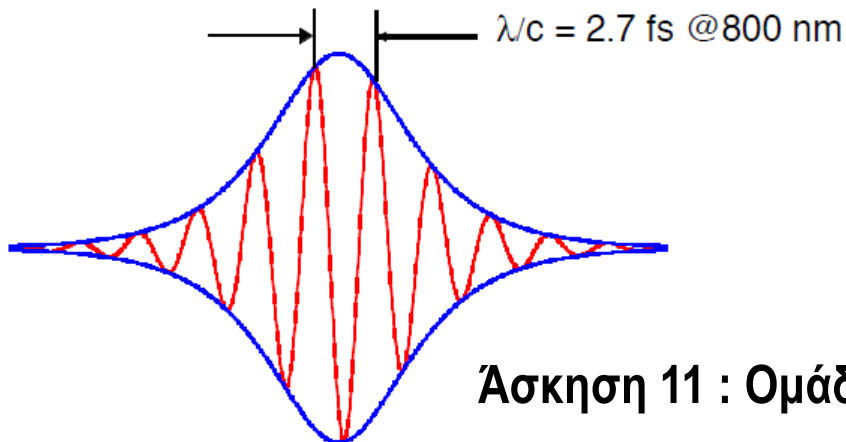
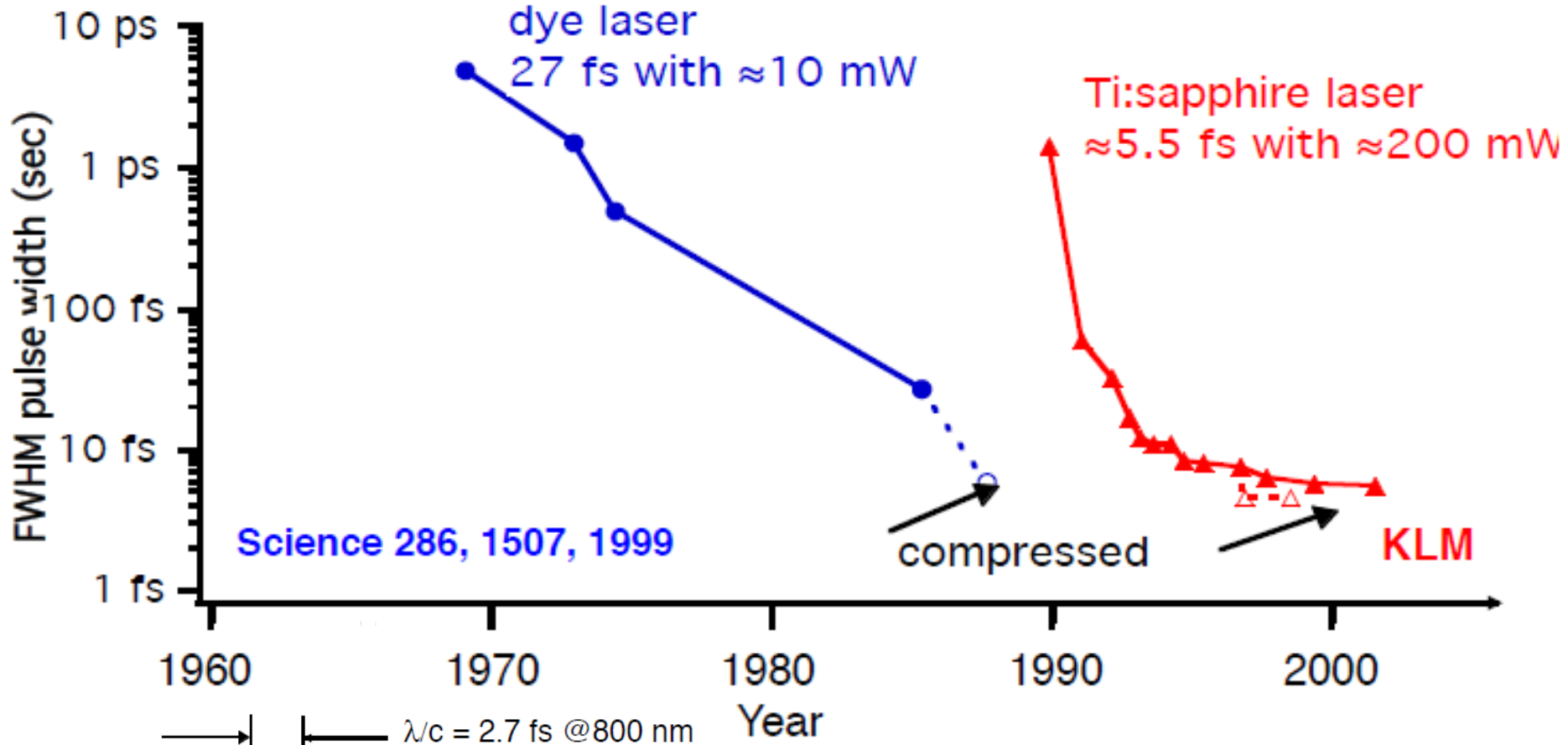
$$N \approx \delta\nu_{\text{GAIN}}/\Delta\nu = 50$$

$$\tau_p \approx (1/N\Delta\nu) = (1/\delta\nu_{\text{GAIN}}) = 200 \text{ ps}$$

$$\langle P \rangle = 1 \text{ W} \Rightarrow E_p = 1\text{W}/100\text{MHz} = 10 \text{ nJ/pulse} \text{ και } I_p = 50 \text{ W}$$



Παλμικά Λείζερ (παλμοί femtosecond)

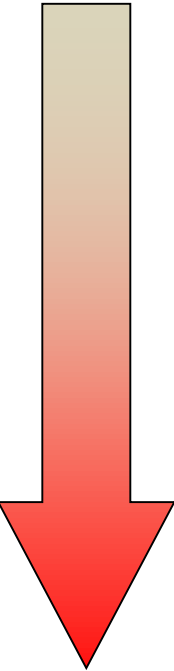


Τύποι λέιζερ

- * Αερίων (Gas lasers)
 - * Υγρών /χρωστικές (Dye lasers)
 - * Στερεάς κατάστασης (Solid state lasers)
 - * Ημιαγωγών (Semiconductor diode lasers)
 - * Χημικά laser (Chemical lasers)
 - * Χρωματικών κέντρων (Color center lasers)
 - * Ελευθέρων ηλεκτρονίων (Free-electron laser)
-

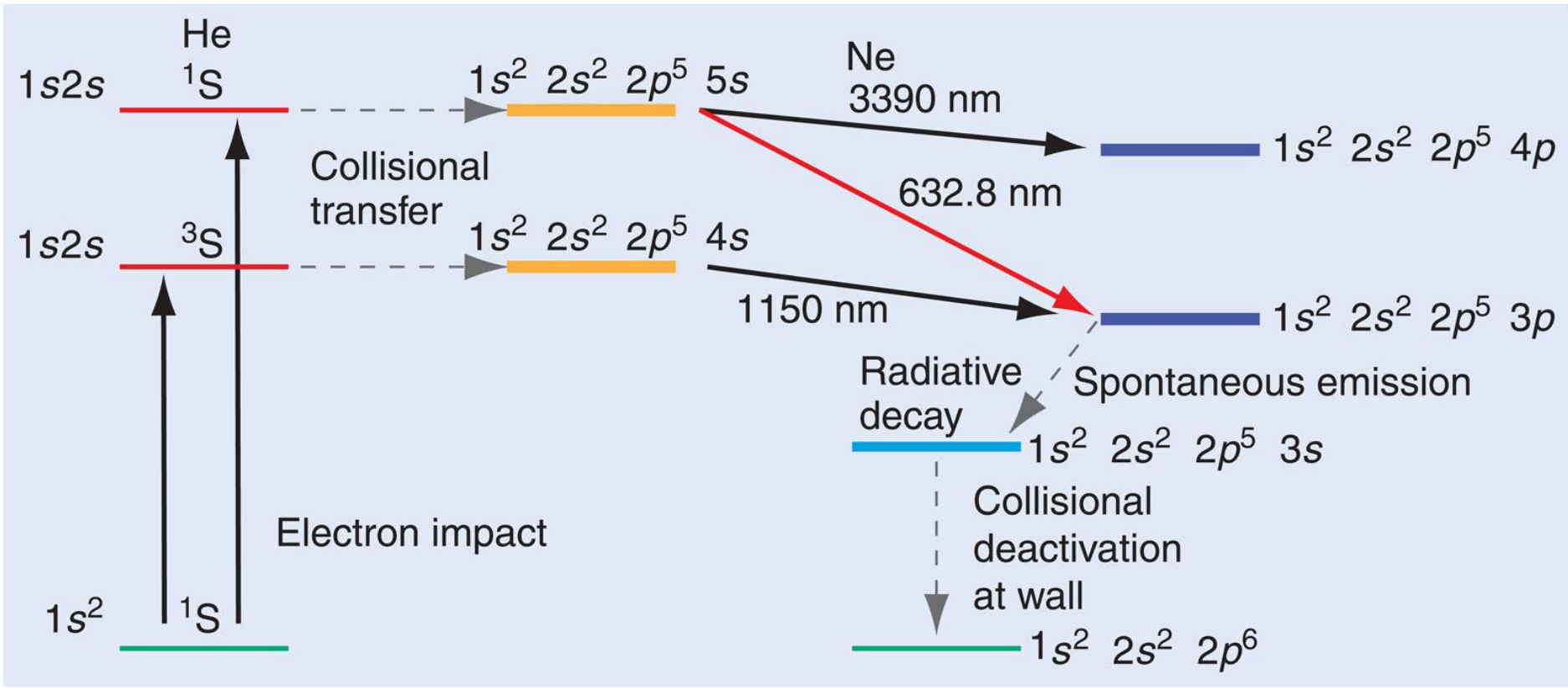
Ενεργό υλικό	ΤύποςΚατηγορία	Μήκος κύματος
F ₂	Gas	157 nm
ArF	Excimer	193 nm
KrF	Excimer	248 nm
XeCl	Excimer	308 nm
N ₂	Gas	337 nm
Organic dyes	Dye lasers	320 -1000 nm (tunable)
He-Cd	Gas	325, 42 nm
Ar ⁺ (Argon ion)	Gas	275-303, 330-360, 477, 514 nm
Kr ⁺ (Krypton ion)	Gas	
He-Ne	Gas	543, 632.8, 1150 nm
GaAlInP family	Semiconductor	630-680 nm
Ti:Sapphire	Solid state	680-1130 nm (tunable)
Ruby : Cr ³⁺ :Al ₂ O ₃	Solid state	694 nm
Alexandrite	Solid state	720-800 nm (tunable)
GaAlAs family	Semiconductor	750-900 nm
Nd:YAG (YAG : Y ₃ Al ₅ O ₁₂)	Solid state	1064 nm (harmonics: 532, 355, 266, 213 nm)
InGaAsP family	Semiconductor	1.2-1.6 μm
HF	Gas	2.6-3.0 μm
CO	Gas	5 - 6 μm
CO ₂	Gas	9.6, 10.6 μm

Ταξινόμηση λέιζερ με βάση την ισχύ ακτινοβολίας εξόδου

- 
- **CLASS 1** <math><0.4 \text{ mW cw}</math>
«ακίνδυνο» αν δεν αποσυναρμολογηθεί !!!
CD, DVD (40mW!!!)
 - **CLASS 2** <math>< 1 \text{ mW cw}</math>, ορατή ακτινοβολία
επικίνδυνο υπό συνθήκες συνεχούς έκθεσης
 - **CLASS 2a** <math>< 1 \text{ mW cw}</math>, ορατή ακτινοβολία
επικίνδυνο υπό συνθήκες εστίασης
super-market scanners
 - **CLASS 3a** 1 – 5 mW cw
επικίνδυνο υπό συνθήκες συνεχούς έκθεσης
δείκτες laser
 - **CLASS 3b** 5- 500 mW cw
υψηλής επικινδυνότητας, καμμία άμεση έκθεση
εργαστηριακά, ερευνητικά laser
 - **CLASS 4** Παλμικά και συνεχή (>500 mW)
υψηλής επικινδυνότητας
εργαστηριακά, ερευνητικά, ιατρικά, στρατιωτικά laser

(1) **He-Ne** (λείζερ αερίων ουδέτερων ατόμων), συνεχής λειτουργία

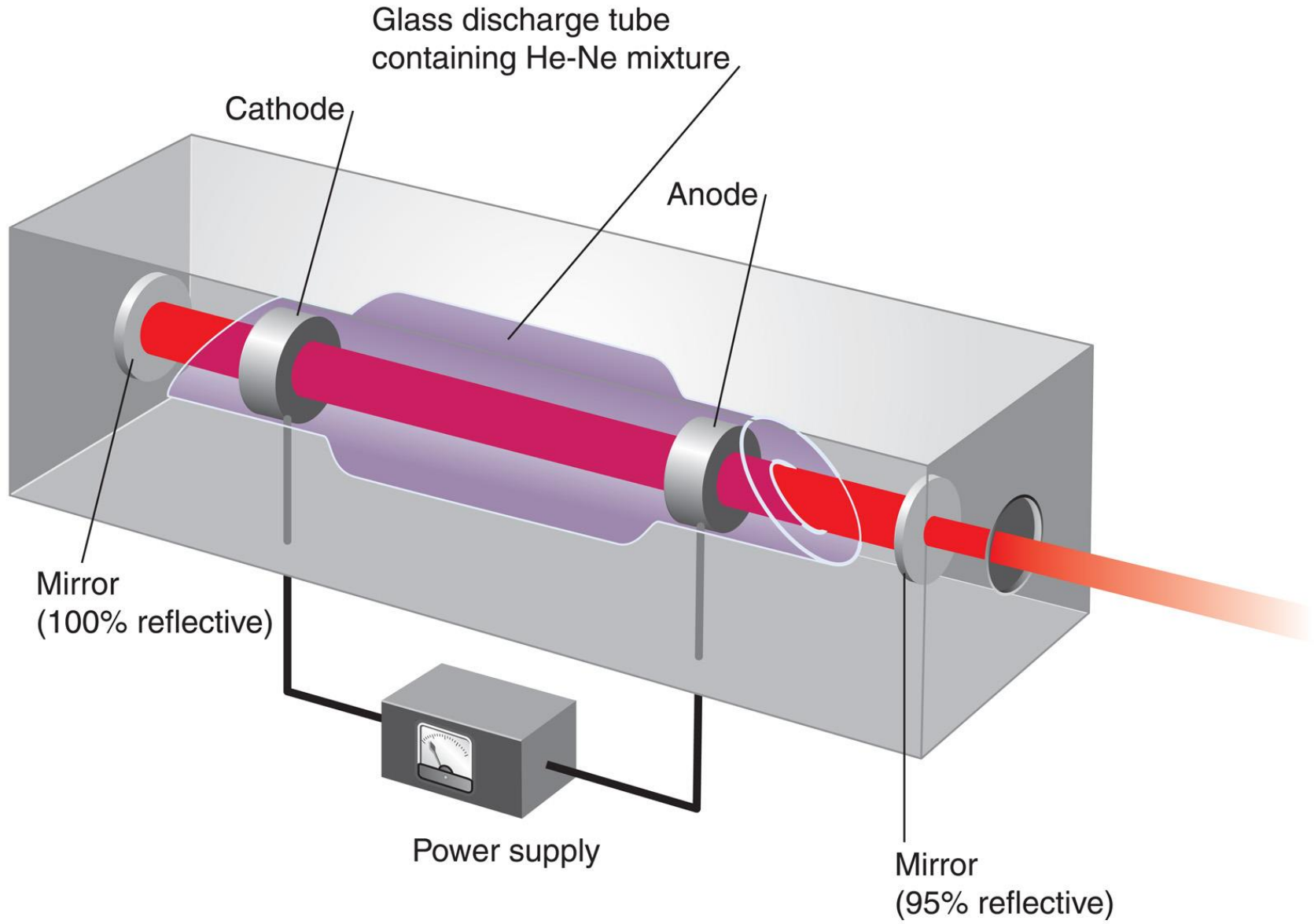
λ : 3.39 μm , **632.8nm**, 1.15 μm , Ισχύς < 1mW μέχρι δεκάδες mW



© 2010 Pearson Education, Inc.

(1) **He-Ne** (λείζερ αερίων ουδέτερων ατόμων), συνεχής λειτουργία

λ : 3.38 μm , **632.8nm**, 1.15 μm , Ισχύς < 1mW μέχρι δεκάδες mW



(1) **He-Ne** (λείζερ αερίων ουδέτερων ατόμων), συνεχής λειτουργία

λ : 3.38 μm , **632.8nm**, 1.15 μm , Ισχύς < 1mW μέχρι δεκάδες mW

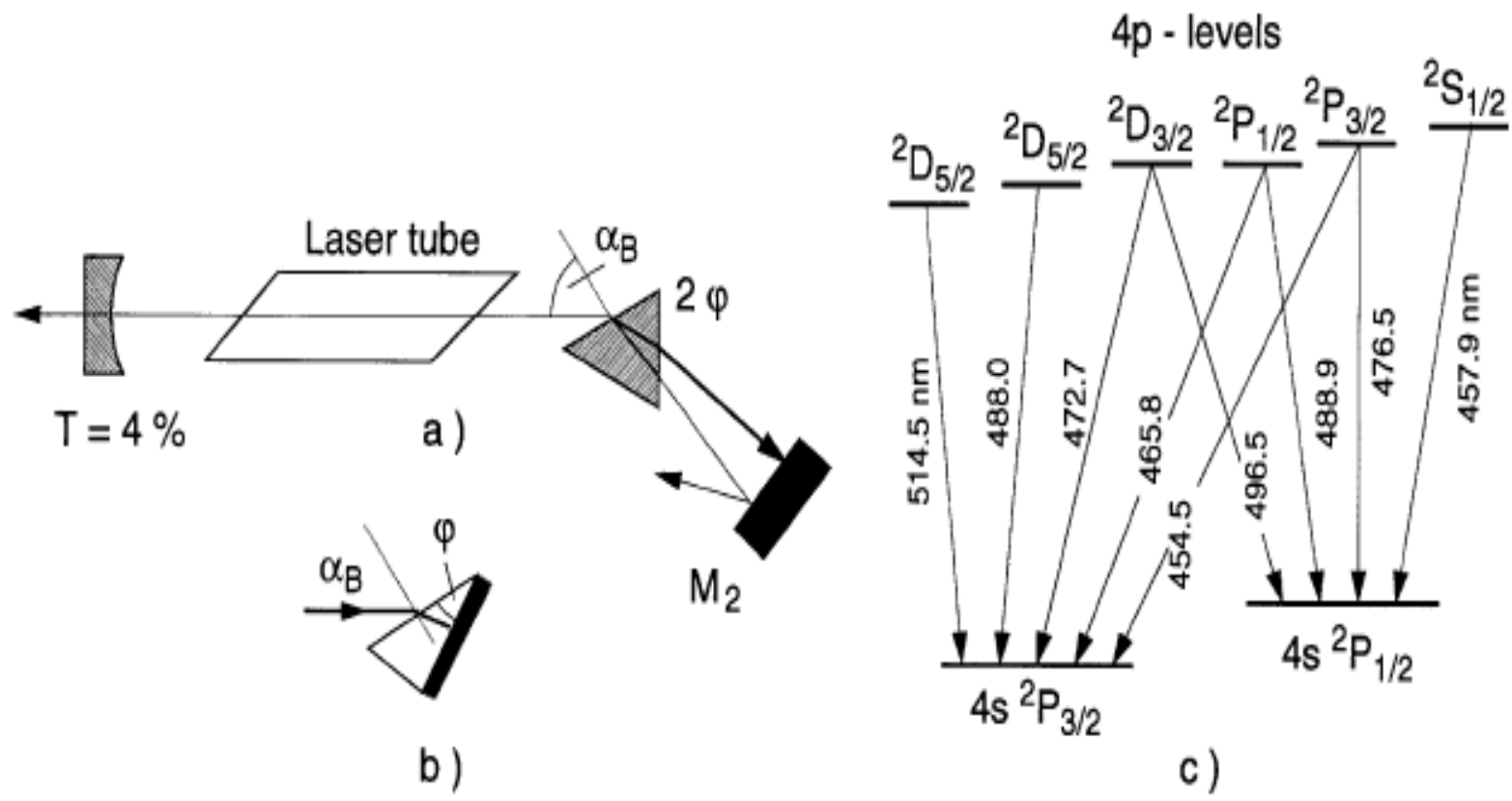


Fig. 5.29a-c. Line selection in an argon laser with a Brewster prism (a) or a Littrow prism reflector (b). Term diagram of laser transition in Ar^+ (c)

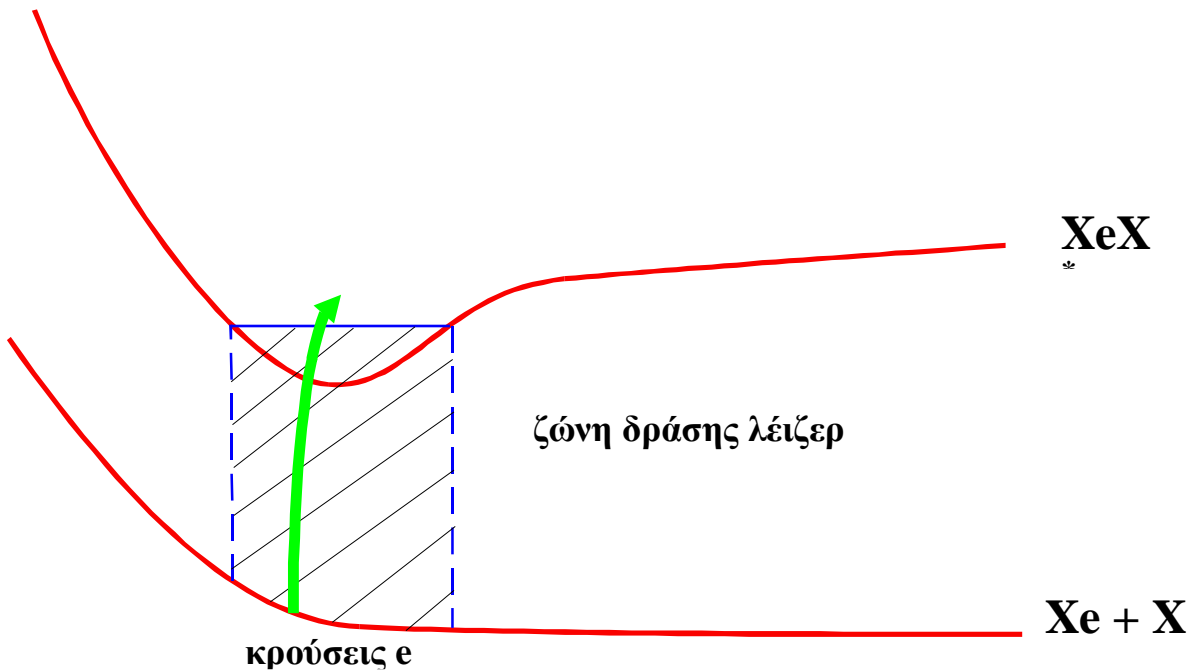
(2) *Excimer lasers* (Διεγερμένων διμερών)

ArF (193nm), KrF (248nm), XeCl (308nm), XeF (351nm)

Παλμική λειτουργία ~10ns, μερικά J

Άντληση κοιλότητας με ηλεκτρική εκκένωση

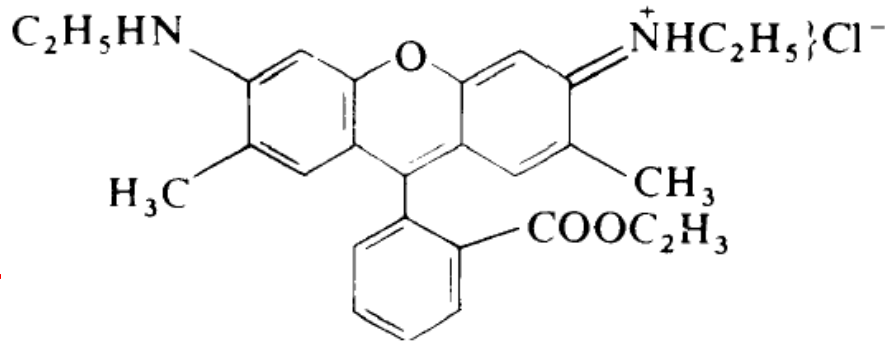
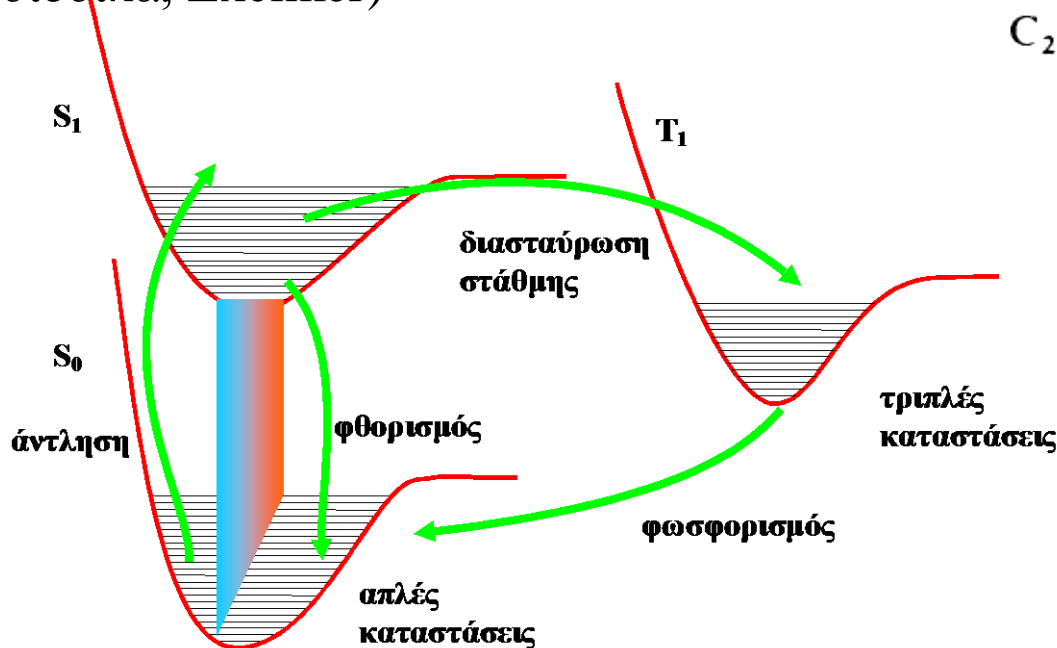
Τα ευγενή αέρια έχουν κλειστές στοιβάδες στην βασική ηλεκτρονική κατάσταση. Όταν όμως διεγερθούν μοιάζουν με αλκάλια και έτσι μπορούν να δημιουργήσουν σταθερούς δεσμούς με άτομα αλογόνων.



(3) Λείζερ οργανικών χρωστικών (dye lasers)

Πολυμεθινικές χρωστικές 0.7 - 1μm, ξανθένια 0.5 - 0.7μm, κουμαρίνες 0.4 - 0.5μm σε διαλύματα μεθανόλης, DMSO, διοξάνιου σε συνεχή κυκλοφορία του διαλύματος

Οπτική άντληση με λυχνίες τόξου, εκκένωσης, άλλα λείζερ (Ar+, Kr+, Nd:YAG, διοδικά, Excimer)



Πλεονέκτημα

Λειτουργία σε πολλά μήκη κύματος επιλεκτικότητα (tunability) ή παραγωγή χρονικά στενών παλμών

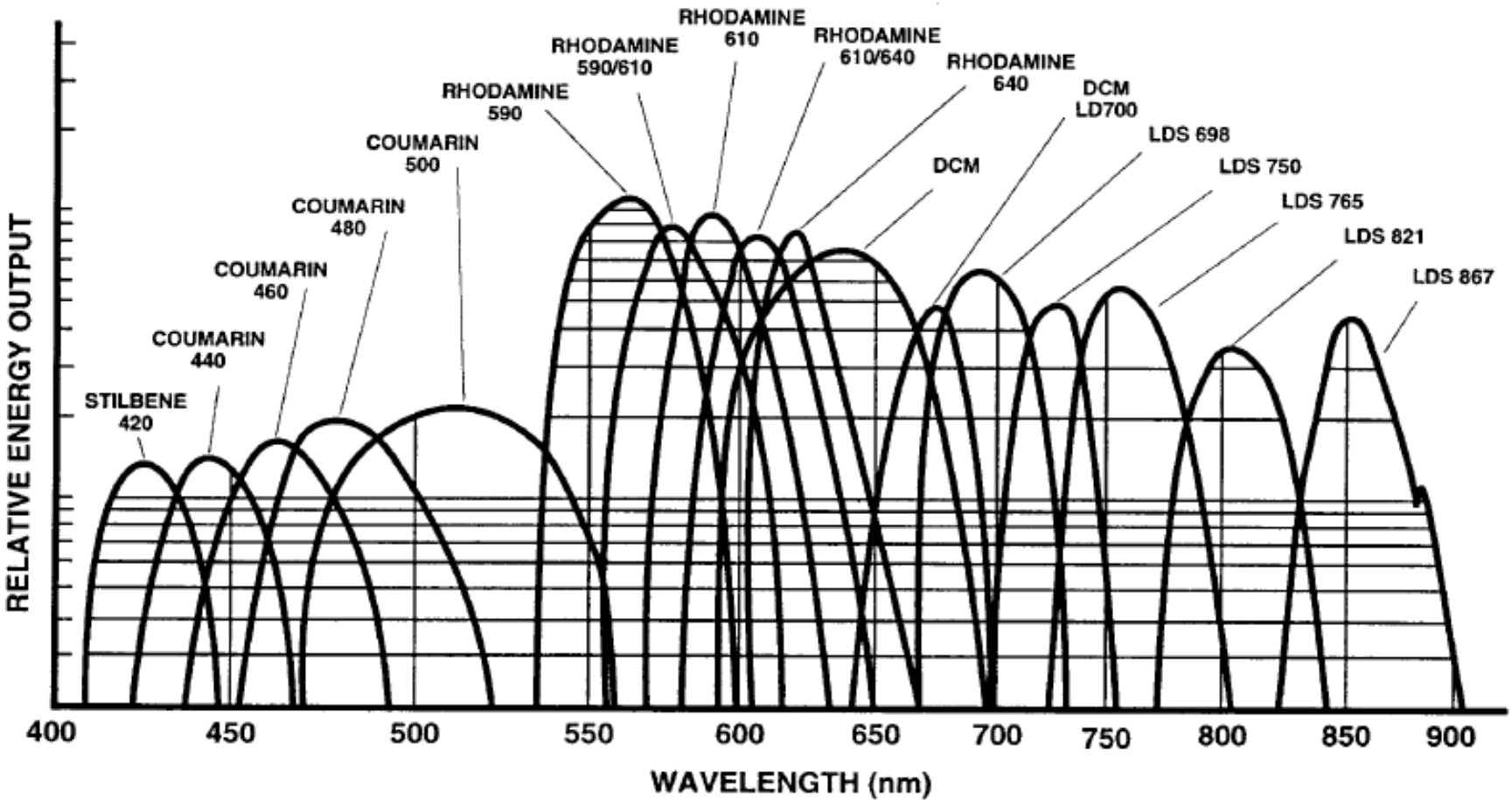
Μειονεκτήματα

Σχετικά μικρός χρόνος ζωής, περιορισμένο εύρος επιλεκτικότητας ανά χρωστική

(3) Λείζερ οργανικών χρωστικών (dye lasers)

TUNING CURVES

Nd:YAG PUMPED LASER DYES (Continuum)⁵³



(4) Λείζερ στερεάς κατάστασης

Ruby $\text{Cr}^{+3} \text{Al}_2\text{O}_3$

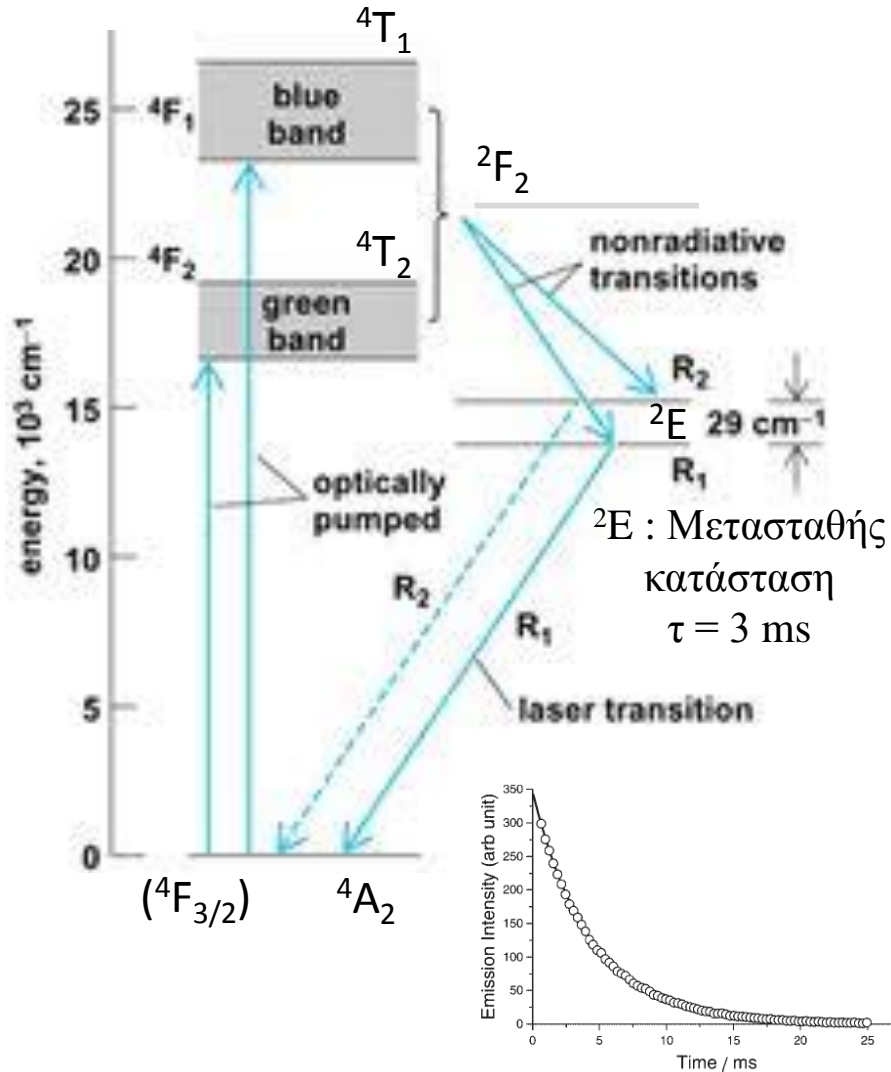


Figure 3. Radiative decay of the $2E$ state. Emission wavelength 694.2 nm. Circles indicate experimental points (1/10 of the total number), whereas the continuous line corresponds to the fitted mono-exponential decay function.

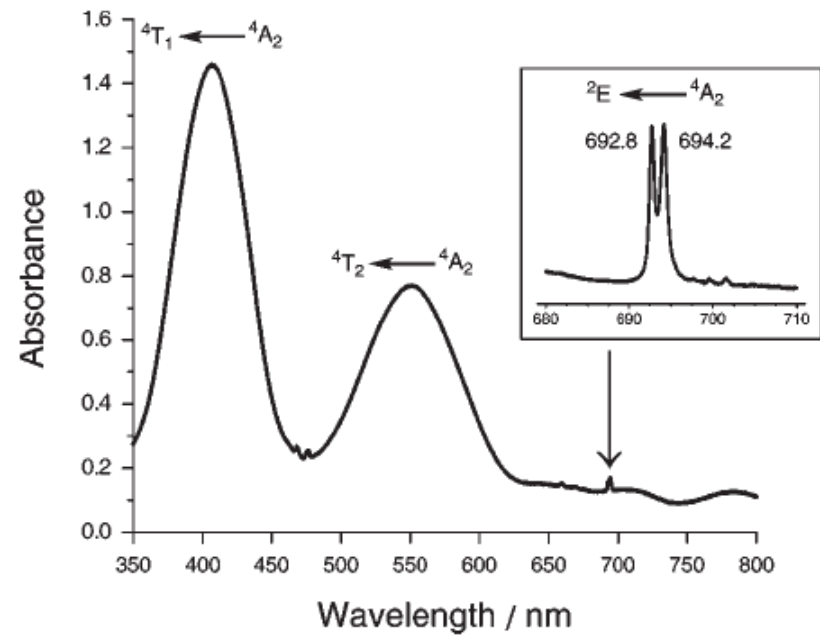


Figure 1. The absorption spectrum of ruby in the visible region.

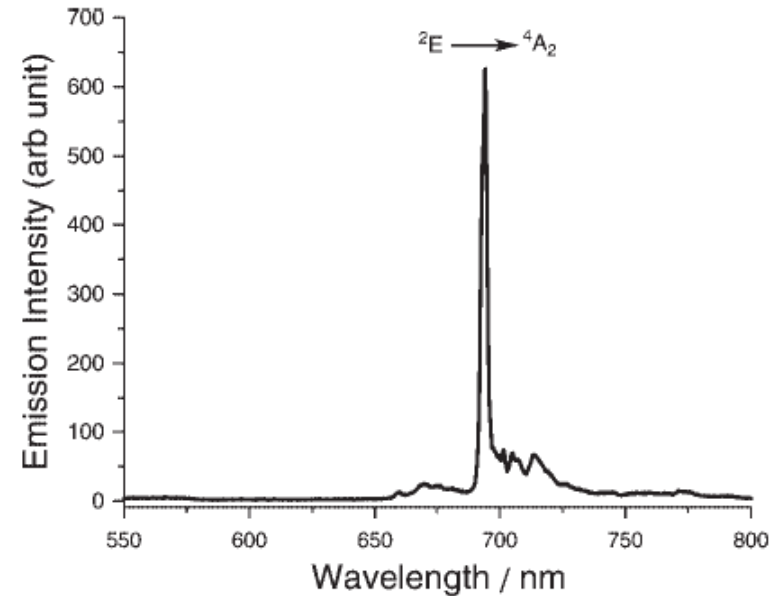
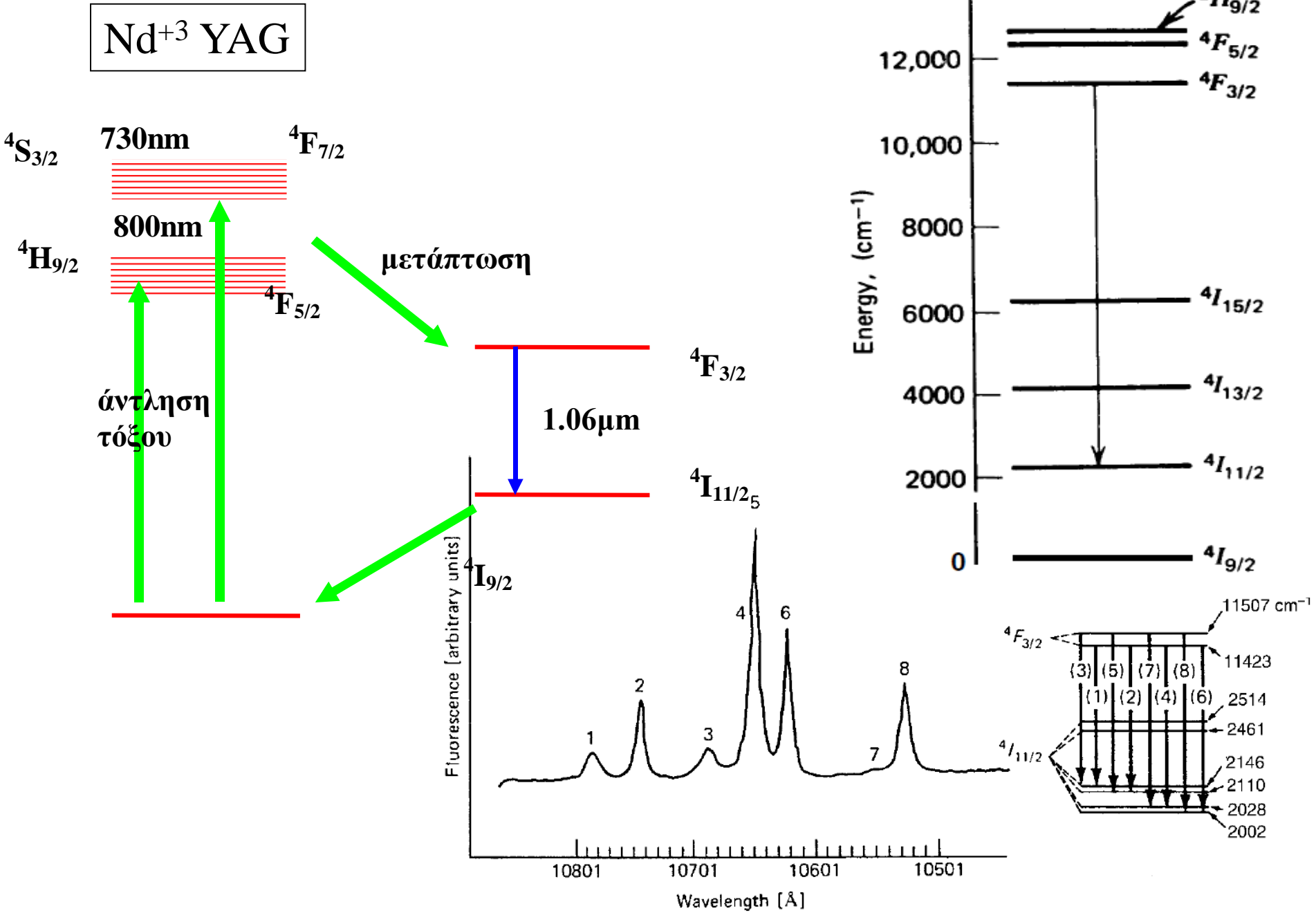


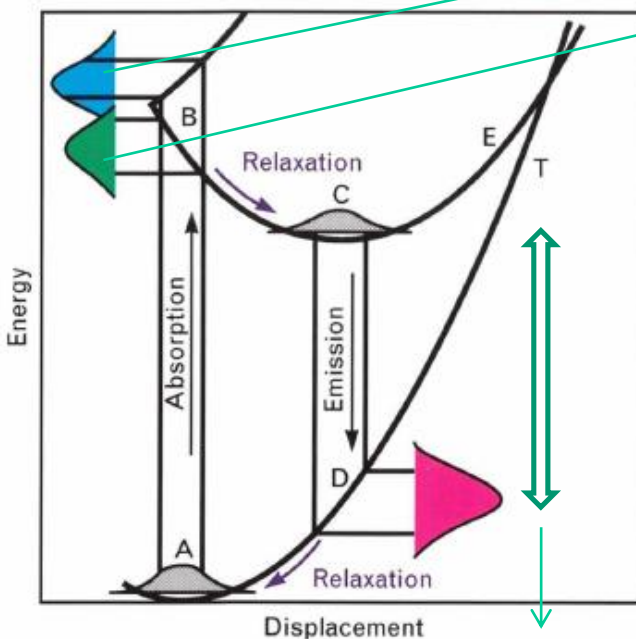
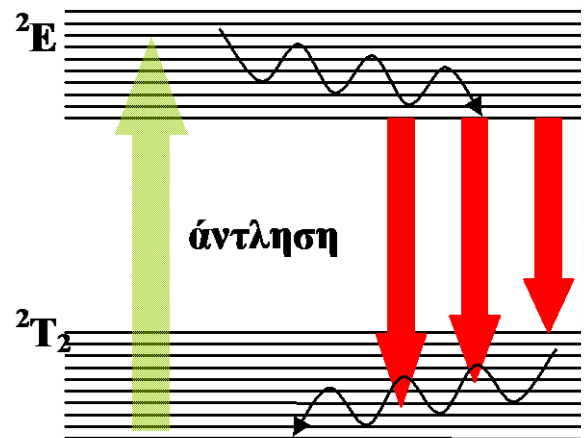
Figure 2. The fluorescence spectrum of ruby. Excitation wavelength is 407 nm.

(4) Λείζερ στερεάς κατάστασης

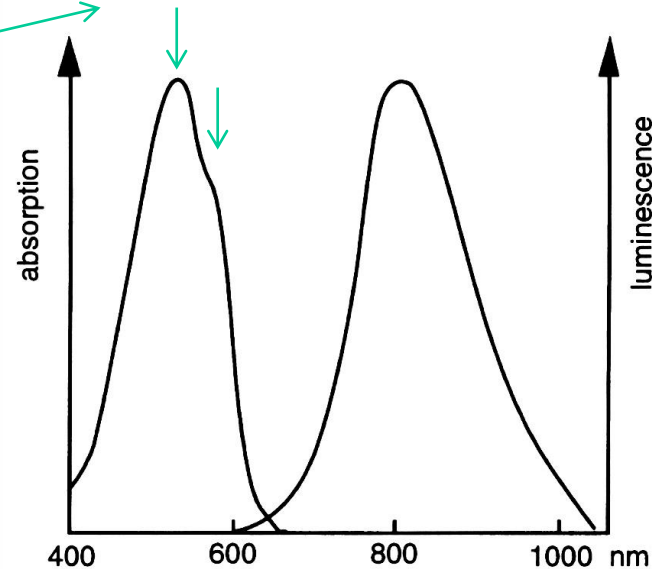


(4) Λείζερ στερεάς κατάστασης

Ti³⁺ sapphire

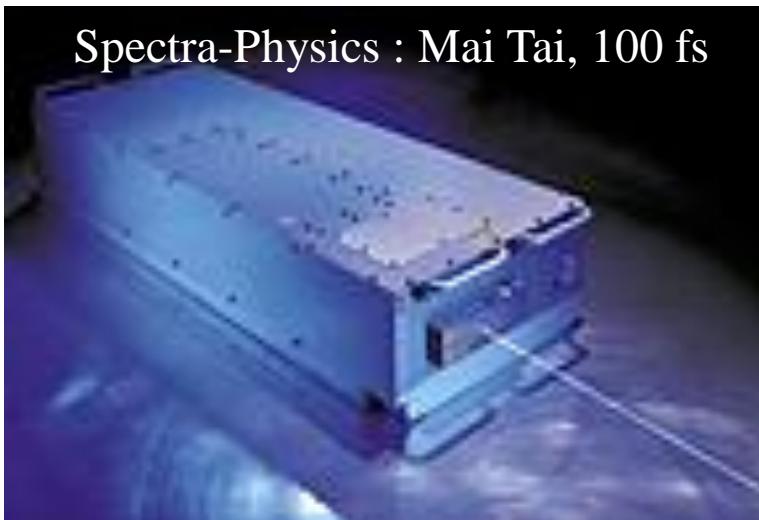


Διάσχιση της 2E λόγω φαινομένου Jahn-Teller



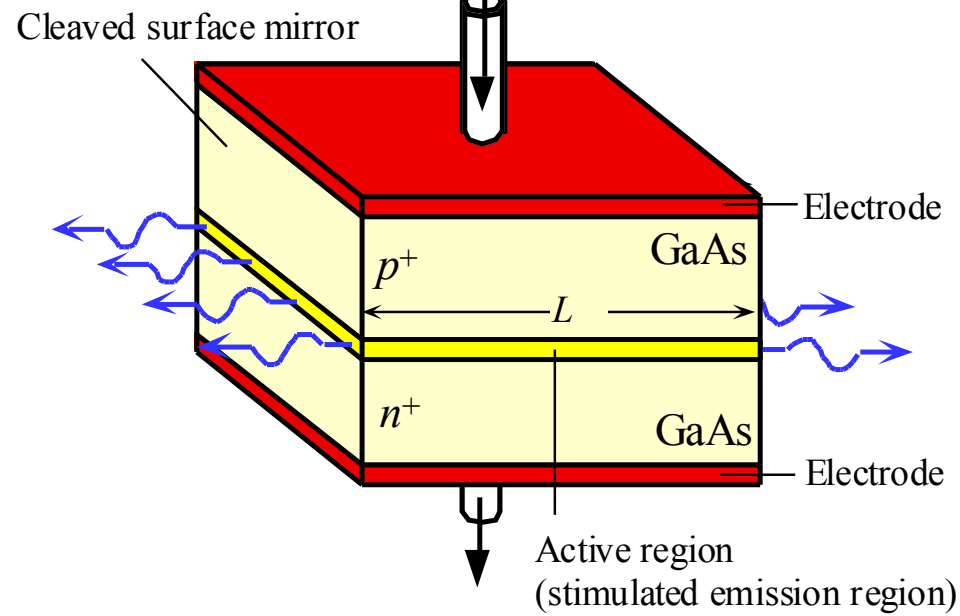
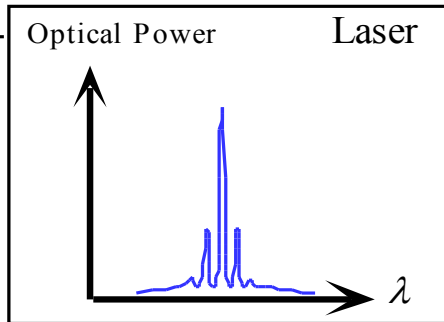
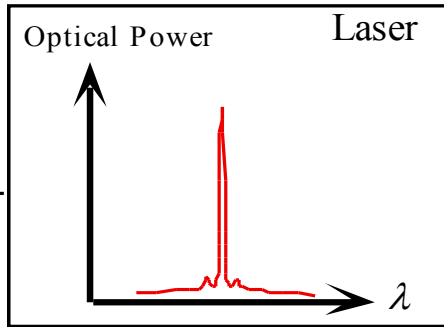
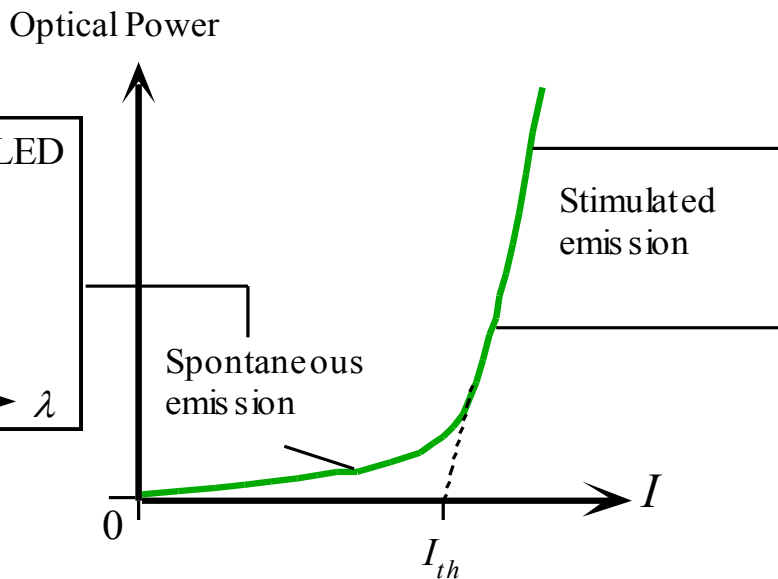
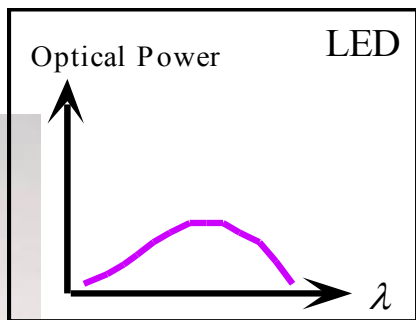
1. Ευνοείται η αναστροφή πληθυσμών διότι η αποδιέγερση οδηγεί σε δονητικώς διεγερμένο επίπεδο της θεμελιώδους 2T και κατά συνέπεια μη πληθυσμένο.
2. Το φασματικό εύρος της εκπομπής του $Ti:Al_2O_3$ επιτρέπει εκπομπή λέιζερ σε ευρεία περιοχή: 660-1180 nm, κατ' αναλογία με τα λέιζερ οργανικών χρωστικών.

Spectra-Physics : Mai Tai, 100 fs



(4) Λείζερ στερεάς κατάστασης

Διοδικά λείζερ



Αρχή λειτουργίας

Διέλευση ηλεκτρικού ρεύματος έντασης μεγαλύτερης μίας τιμής κατωφλίου (I_{th}) μέσω του ημιαγωγού οδηγεί σε εξαναγκασμένη εκπομπή ακτινοβολίας ως αποτέλεσμα του υψηλού ρυθμού της επανασύνδεσης ηλεκτρονίων οπών.

Πλεονεκτήματα - Εφαρμογές

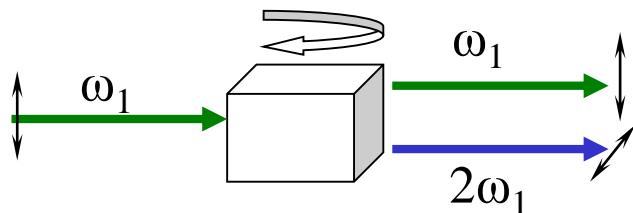
Το πολύ μικρό μέγεθος των διοδικών λείζερ και η μαζική παραγωγή ελαχιστοποιούν το κόστος και επιτρέπουν τη χρήση σε πληθώρα ηλεκτρονικών συσκευών (CD, DVD κ. ά.)

Εφαρμογές σε περιβαλλοντικές μετρήσεις αερίων ρύπων.

(4) Λείζερ στερεών (μη-γραμμικών κρυστάλλων)

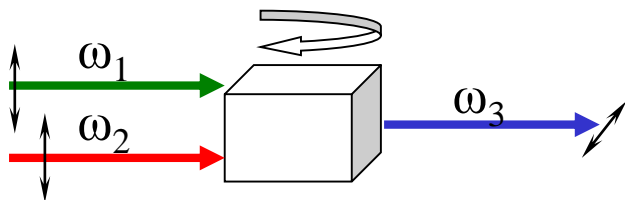
Οι μη-γραμμικοί κρύσταλλοι έχουν την ιδιότητα κάτω από συγκεκριμένες γωνίες εισόδου της θεμελιώδους ακτινοβολίας να παράγουν αρμονικές της συχνότητας

Γένεση 2^{ης} αρμονικής - *Second Harmonic Generation (SHG)*



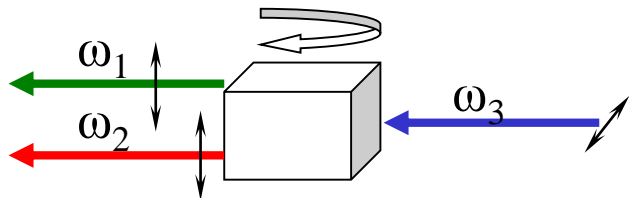
δεύτερη αρμονική : $\omega_2 = 2\omega_1$
η πόλωση στρέφεται κατά 90°,
απόδοση της διαδικασίας ~ 520%)

Αθροιση συχνοτήτων - *Frequency mixing*



$$\omega_3 = \omega_1 \pm \omega_2$$

Οπτική παραμετρική ταλάντωση – *Optical Parametric Oscillator (OPO)*



$$\omega_3 = \omega_1 - \omega_2$$

Μη γραμμικοί κρύσταλλοι

KDP	KH_2PO_4
KD*P	KD_2PO_4
CDP	CsH_2PO_4
ADP	$(\text{NH}_4)\text{H}_2\text{PO}_4$
KTP	KTiPO_4
BBO	$\beta\text{-BaB}_2\text{O}_4$
LBO	$\text{Li}_2\text{B}_4\text{O}_7$
	LiNbO_3
	LiIO_3

(4)

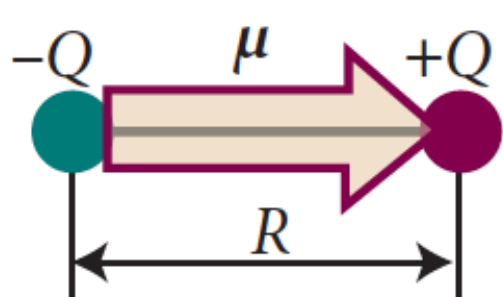
Table 5.7. Characteristic data of nonlinear crystals used for frequency doubling or sum-frequency generation

Material	Transparency range [nm]	Spectral range of phase matching of type I or II	Damage threshold [GW/cm ²]	Relative doubling efficiency	Reference
ADP	220–2000	500–1100	0.5	1.2	[5.5]
KD*P	200–2500	517–1500 (I) 732–1500 (II)	8.4	1.0 8.4	[5.245]
Urea	210–1400	473–1400 (I)	1.5	6.1	[5.256]
BBO	197–3500	410–3500 (I) 750–1500 (II)	9.9	26.0	[5.229–5.235]
LiIO ₃	300–5500	570–5500 (I)	0.06	50.0	[5.257, 5.239]
KTP	350–4500	1000–2500 (II)	1.0	215.0	[5.255]
LiNbO ₃	400–5000	800–5000 (II)	0.05	105.0	[5.245]
LiB ₃ O ₅	160–2600	550–2600	18.9	3	[5.246]
CdGeAs ₂	1–20 μm	2–15 μm	0.04	9	[5.260]
AgGaSe ₂	3–15 μm	3.1–12.8 μm	0.03	6	
Te	3.8–32 μm		0.045	270	[5.245]

Table 5.8. Abbreviations for some commonly used nonlinear crystals

ADP	= Ammonium dihydrogen phosphate	NH ₄ H ₂ PO ₄
KDP	= Potassium dihydrogen phosphate	KH ₂ PO ₄
KD*P	= Potassium dideuterium phosphate	KD ₂ PO ₄
KTP	= Potassium titanyl phosphate	KTiOPO ₄
KNbO ₃	= Potassium niobate	KNbO ₃
LBO	= Lithium triborate	LiB ₃ O ₅
LiIO ₃	= Lithium iodate	LiIO ₃
LiNbO ₃	= Lithium niobate	LiNbO ₃
BBO	= Beta-barium borate	β-BaB ₂ O ₄

Μη γραμμική Οπτική (Non-linear Optics)

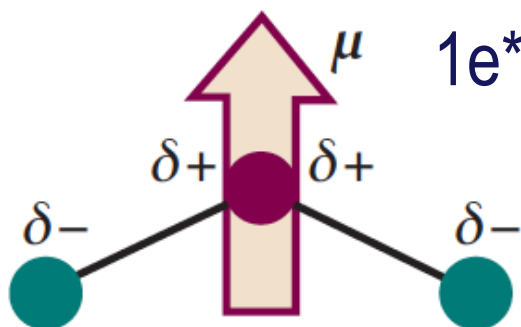


Διπολική
ροπή
 $\mu = QR$

Εικ. 1 Ηλεκτρικό δίπολο

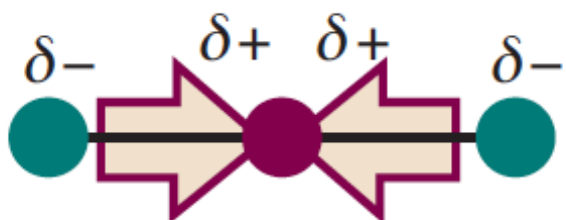
$$1 \text{ Debye} = 3.336 \cdot 10^{-34} \text{ Cm}$$

$$1 \text{ e} \cdot 1 \text{ \AA} = 4.8 \text{ Debye}$$



$\mu \neq 0$

Εικ. 2 Όζον, O_3



$\mu = 0$

Εικ. 3 Διοξείδιο του άνθρακα, CO_2

Ηλεκτρικές ιδιότητες ατόμων και μορίων

Table 11.3 Dipole moments and mean polarizability volumes

	μ/D	$\alpha'/(10^{-30} \text{ m}^3)$
Ar	0	1.66
CCl_4	0	10.3
C_6H_6	0	10.4
H_2	0	0.819
H_2O	1.85	1.48
NH_3	1.47	2.22
HCl	1.08	2.63
HBr	0.80	3.61
HI	0.42	5.45

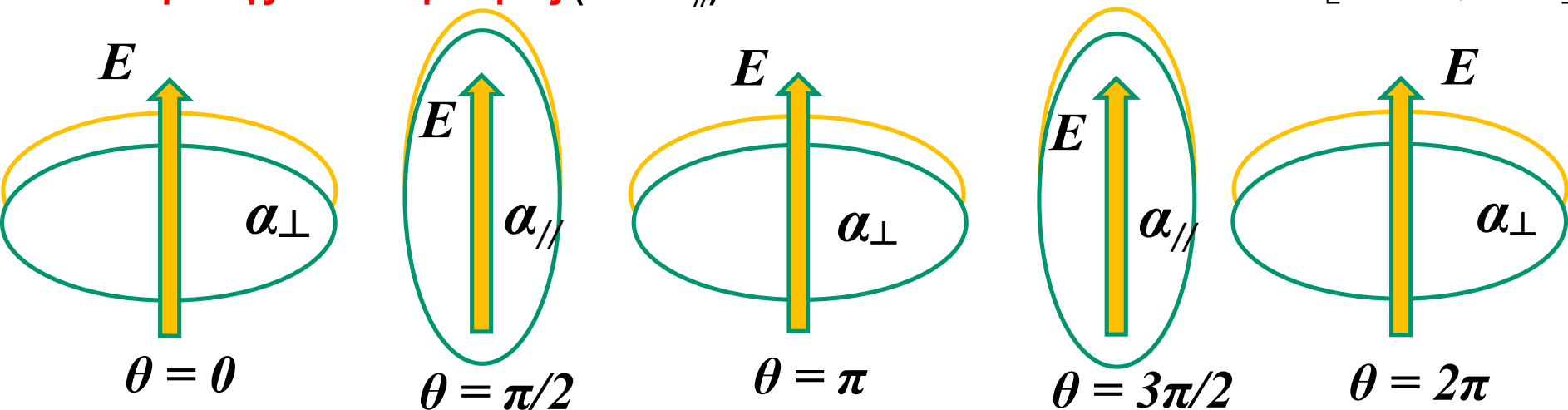
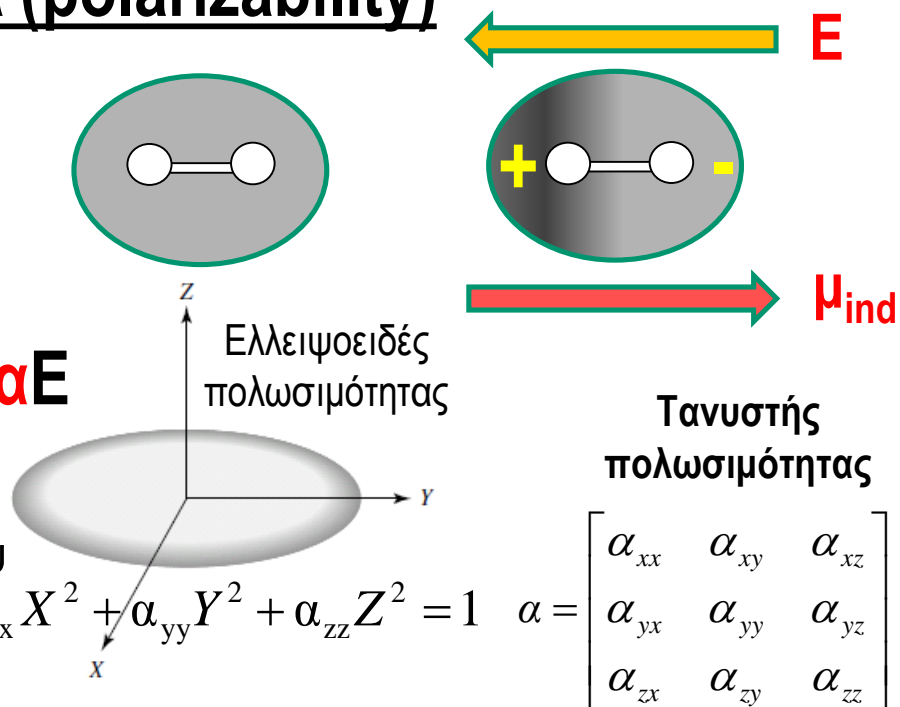
Μη γραμμική Οπτική (Non-linear Optics)

Ατομική, μοριακή πολωσιμότητα (polarizability)

Η δυνατότητα παραμόρφωσης της ηλεκτρονιακής κατανομής, δηλ. πόλωσης, που εμφανίζει άτομο ή μόριο υπό την επίδραση ηλεκτρικού πεδίου E , ονομάζεται **πολωσιμότητα, α** .

$$\mu = \mu_0 + \mu_{\text{ind}} = \mu_0 + \alpha E$$

Η διαφορετική παραμόρφωση της ηλεκτρονιακής κατανομής σε σχέση με τον προσανατολισμό του μορίου ως προς το E υποδηλώνει την ύπαρξη **ανισότροπης πολωσιμότητας ($\alpha_{\perp} \neq \alpha_{\parallel}$)**



Μη γραμμική Οπτική (Non-linear Optics)

Πόλωση (Polarization) P

Σε ένα διηλεκτρικό υλικό (οπτικό μέσο), ως **πόλωση** ορίζουμε τη μέση τιμή της διπολικής ροπής ανά μονάδα όγκου. $\mathbf{P} = \mathbf{N}\langle\boldsymbol{\mu}\rangle$

Σε ισότροπο μέσο: $\mathbf{P} = \mathbf{0}$

Παρουσία εξωτερικού ηλεκτρικού πεδίου: $\mathbf{P} \neq \mathbf{0}$.

Μη γραμμική Πόλωση (Non-linear Polarization) \mathbf{P}_{NL}

Η επαγόμενη διπολική ροπή δεν είναι απαραίτητα γραμμική συνάρτηση της έντασης του ΗΠ.

Δηλαδή είναι δυνατόν να περιλαμβάνει και μη γραμμικούς όρους.

$$\boldsymbol{\mu}_{\text{ind}} = \boldsymbol{\alpha}\mathbf{E} + (1/2)\boldsymbol{\beta}\mathbf{E}\mathbf{E} + (1/6)\boldsymbol{\gamma}\mathbf{E}\mathbf{E}\mathbf{E}$$

Για την πόλωση συνολικά θα ισχύει

$$\mathbf{P} = \epsilon_0(\tilde{\chi}^{(1)}\mathbf{E} + \tilde{\chi}^{(2)}\mathbf{E}^2 + \tilde{\chi}^{(3)}\mathbf{E}^3 + \dots)$$

Μη γραμμική Οπτική (Non-linear Optics)

Μη γραμμική Πόλωση (Non-linear Polarization) P_{NL}

$$P_i^{(2)} = \epsilon_0 \left(\sum_{k=1}^3 \chi_{ik}^{(1)} E_k + \sum_{j,k=1}^3 \chi_{ijk}^{(2)} E_j E_k \right) \quad (1 \hat{=} x, 2 \hat{=} y, 3 \hat{=} z)$$

$$\begin{pmatrix} P_x^{(1)} \\ P_y^{(1)} \\ P_z^{(1)} \end{pmatrix} = \epsilon_0 \begin{pmatrix} \chi_{xx} & \chi_{xy} & \chi_{xz} \\ \chi_{yx} & \chi_{yy} & \chi_{yz} \\ \chi_{zx} & \chi_{zy} & \chi_{zz} \end{pmatrix} \begin{pmatrix} E_x \\ E_y \\ E_z \end{pmatrix}$$

$$\begin{pmatrix} P_x^{(2)}(\omega) \\ P_y^{(2)}(\omega) \\ P_z^{(2)}(\omega) \end{pmatrix} = \epsilon_0 \begin{pmatrix} \chi_{xxx}^{(2)} & \chi_{xxy}^{(2)} & \dots & \chi_{xzz}^{(2)} \\ \chi_{yxx}^{(2)} & \chi_{yyx}^{(2)} & \dots & \chi_{yzz}^{(2)} \\ \chi_{zxx}^{(2)} & \chi_{zxy}^{(2)} & \dots & \chi_{zzz}^{(2)} \end{pmatrix} \begin{pmatrix} E_x(\omega_1) \cdot E_x(\omega_2) \\ E_x(\omega_1) \cdot E_y(\omega_2) \\ E_x(\omega_1) \cdot E_z(\omega_2) \\ E_y(\omega_1) \cdot E_x(\omega_2) \\ E_y(\omega_1) \cdot E_y(\omega_2) \\ \vdots \\ E_z(\omega_1) \cdot E_z(\omega_2) \end{pmatrix}$$

Μη γραμμική Οπτική (Non-linear Optics)

Γένεση 2^{ης} αρμονικής (Second Harmonic Generation, SHG)

Έστω ΗΜ ακτινοβολία συχνότητας ω .

Το ΗΠ είναι: $\mathbf{E}(\mathbf{z}, t) = \mathbf{E}_0 \cos(\omega t - \mathbf{k} \cdot \mathbf{z})$ ή $\mathbf{E}_0 \cos \omega t$ ή $\mathbf{E}_0 \exp(i\omega t)$

Πόλωση

$$\mathbf{P}_L = \epsilon_0 \chi^{(1)} \mathbf{E}_0 \cos \omega t \quad (\text{Rayleigh})$$

$$\mathbf{P}_{NL} = \epsilon_0 \chi^{(2)} (\mathbf{E}_0 \cos \omega t)^2 = (1/2) \epsilon_0 \chi^{(2)} \mathbf{E}_0^2 (1 + \cos 2\omega t)$$

Η **μη γραμμική πόλωση** παράγει όρο που μεταβάλλεται με συχνότητα **2ω** άρα διπλάσια της θεμελιώδους,

Αυτή η διαδικασία ονομάζεται **γένεση 2^{ης} αρμονικής**

Επομένως ισχύει : **$\omega + \omega = 2\omega$** : **Διατήρηση Ενέργειας** ($2\hbar\omega = \hbar 2\omega$)

Οφείλει όμως να ισχύει και η **Αρχή Διατήρησης της Ορμής**

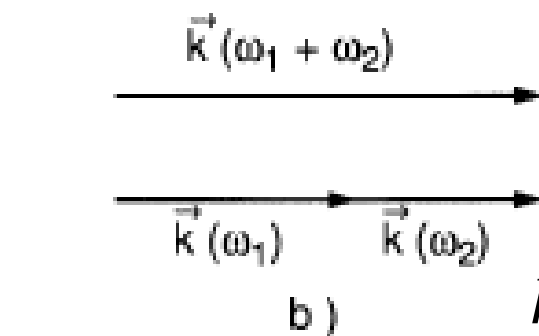
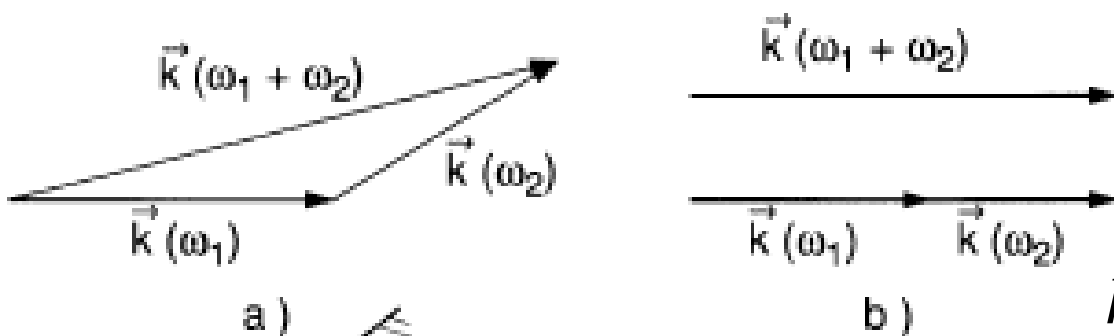
Μη γραμμική Οπτική (Non-linear Optics)

Γένεση 2^{ης} αρμονικής (Second Harmonic Generation, SHG)

Πώς εκφράζεται η ορμή ενός Η/Μ κύματος? $\mathbf{E}(\mathbf{z}, t) = \mathbf{E}_0 \cos(\omega t - \mathbf{k} \cdot \mathbf{z})$

Παρατήρηση: Όπως $\hbar\omega \rightarrow \mathbf{W}$ (ενέργεια, Joule) φάση

Ομοίως: $\hbar\mathbf{k} \rightarrow \mathbf{p}$ (ορμή, kg m s^{-1}) Διατήρηση ορμής / φάσης
(phase matching)



$$k_\omega + k_\omega = k_{2\omega}$$

$$k = \frac{2\pi}{\lambda} = \frac{2\pi\nu}{\lambda\nu} = \frac{\omega}{u} = \frac{n\omega}{c}$$

$$2k_\omega = \frac{2n_\omega\omega}{c} \neq \frac{n_{2\omega}2\omega}{c} = k_{2\omega}$$

Διατήρηση φάσης => Το παραγόμενο κύμα (2ω) συμβαδίζει με το αρχικό (ω) σε όλο το μήκος του μη γραμμικού μέσου.

Fig. 5.111a,b. Phase-matching condition as momentum conservation for (a) noncollinear and (b) collinear propagation of the three waves

Μη γραμμική Οπτική (Non-linear Optics)

Γένεση 2^{ης} αρμονικής (Second Harmonic Generation, SHG)

Για να ικανοποιείται η διατήρηση της ορμής (phase matching) είναι απαραίτητη η χρήση **διπλοθλαστικών** οπτικών μέσων στα οποία υπό κατάλληλη διεύθυνση διάδοσης της δέσμης λέιζερ ως προς τον οπτικό άξονα είναι δυνατόν να επιτευχθεί η συνθήκη **$n_o(\omega) = n_e(2\omega)$** .

Για να έχουν τη δυνατότητα γένεσης 2^{ης} αρμονικής τα κρυσταλλικά υλικά πρέπει να είναι **μη κεντροσυμμετρικά**.

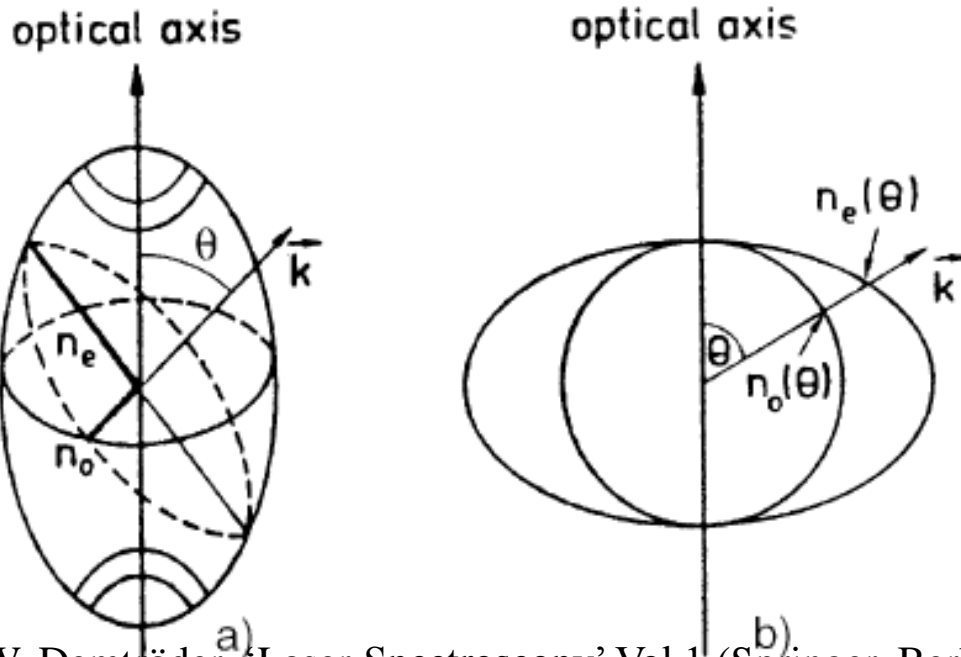


Fig. 5.112. (a) Index ellipsoid and refractive indices n_o and n_e for two directions of the electric vector of the wave in a plane perpendicular to the wave propagation k . (b) Dependence of n_o and n_e on the angle θ between the wave vector k and the optical axis of a uniaxial positive birefringent crystal

Μη γραμμική Οπτική (Non-linear Optics)

Γένεση 2^{ης} αρμονικής (Second Harmonic Generation, SHG)

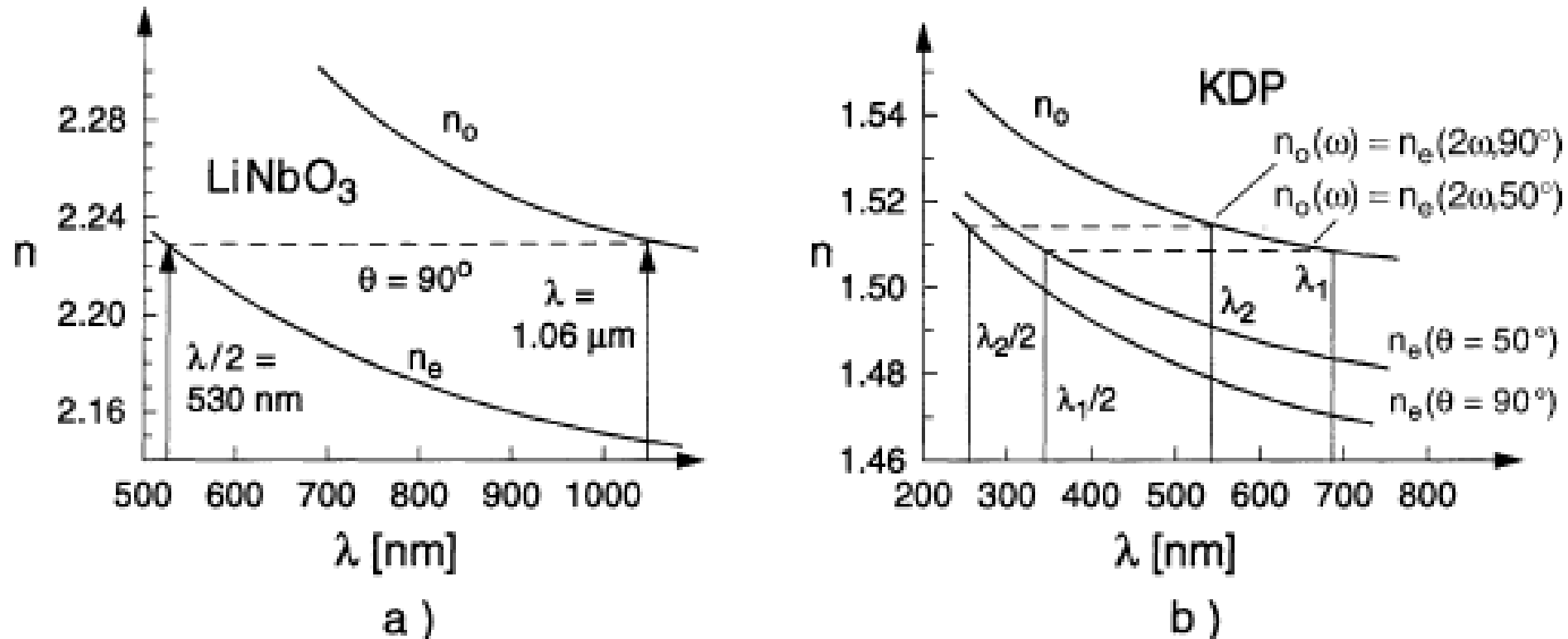


Fig. 5.115a,b. Refractive indices $n_o(\lambda)$ and $n_e(\lambda)$: (a) for $\theta = 90^\circ$ in LiNbO_3 [5.225] and (b) for $\theta = 50^\circ$ and 90° KDP [5.222]. Collinear phase matching can be achieved in LiNbO_3 for $\theta = 90^\circ$ and $\lambda = 1.06 \mu\text{m}$ (Nd^+ laser) and in KDP for $\theta = 50^\circ$ at $\lambda = 694 \text{ nm}$ (ruby laser) or for $\theta = 90^\circ$ at $\lambda = 515 \text{ nm}$ (argon laser)

Μη γραμμική Οπτική (Non-linear Optics)

Γένεση 2^{ης} αρμονικής (Second Harmonic Generation, SHG)

Η μη γραμμική αλληλεπίδραση του ΗΜΠ πεδίου (ακτινοβολίας) σε συχνότητα ω , οδηγεί στη δημιουργία πόλωσης μεταβαλλόμενης σε συχνότητα 2ω καθώς η αρχική δέσμη, $\mathbf{E}(\omega, \mathbf{z})$, διαδίδεται στο μη γραμμικό μέσο κατά τον άξονα z .

$$P(2\omega) = (1/2) \epsilon_0 \chi^{(2)} [E_0(\omega)]^2 (1 + \cos(2\omega t - 2k_\omega z))$$

Ο όρος της μη γραμμικής πόλωσης, $P(2\omega)$, με τη σειρά του, παράγει αντίστοιχο ΗΜΠ ακτινοβολίας, $E(2\omega, z)$.

Σε οπτικό δρόμο dz το παραγόμενο ΗΠ είναι:

$$dE(2\omega, z) = (2\omega/\epsilon_0 n c) P(2\omega, z) dz$$

$$dE(2\omega, z) = (2\omega/\epsilon_0 n c) (1/2) \epsilon_0 \chi^{(2)} [E_0(\omega)]^2 (\cos(2\omega t - 2k_\omega z))$$

$$\text{Ισχύει: } 2\omega t - k_{2\omega} z = k_{2\omega} u t - 2k_\omega z = |k_{2\omega} - 2k_\omega| z = \Delta k z$$

Μη γραμμική Οπτική (Non-linear Optics)

Γένεση 2^{ης} αρμονικής (Second Harmonic Generation, SHG)

Άρα, το ΗΜΠ που αναπτύσσεται σε κρύσταλλο μήκους L , είναι :

$$E(2\omega, L) = \int_{z=0}^L (\omega/nc) \chi^{(2)} [E_0(\omega)]^2 (\cos(\Delta kz)) dz$$

Και δεδομένου ότι : $I = (nc\varepsilon_0/2)|E|^2$

η ένταση της 2^{ης} αρμονικής δίδεται από τη σχέση:

$$I(2\omega, L) = [I(\omega)]^2 \frac{2\omega^2 |\chi^{(2)}|^2 L^2}{\varepsilon_0 c^2 n_{2\omega}^3} \frac{\sin^2(\Delta kL)}{(\Delta kL)^2}$$

Μήκος συμφωνίας: $L_c = (\pi/2\Delta k) = \frac{\lambda}{4(n_{2\omega} - n_\omega)}$

Μη γραμμική Οπτική (Non-linear Optics)

Άθροισμα – Διαφορά συχνοτήτων (Frequency mixing)

Έστω ότι στο μέσο λαμβάνει χώρα αλληλεπίδραση 2 ΗΜ κυμάτων με συχνότητες ω_1 και ω_2 .

$$\mathbf{E}_1(\mathbf{z}, t) = \mathbf{E}_{01} \cos(\omega_1 t - \mathbf{k}_1 \cdot \mathbf{z}) \text{ και } \mathbf{E}_2(\mathbf{z}, t) = \mathbf{E}_{02} \cos(\omega_2 t - \mathbf{k}_2 \cdot \mathbf{z})$$

$$\mathbf{E}(\mathbf{z}, t) = \mathbf{E}_1(\mathbf{z}, t) + \mathbf{E}_2(\mathbf{z}, t)$$

$$\begin{aligned} P^{(2)} &= \epsilon_0 \tilde{\chi}^{(2)} E^2(z=0) \\ &= \epsilon_0 \tilde{\chi}^{(2)} \left(E_1^2 \cos^2 \omega_1 t + E_2^2 \cos^2 \omega_2 t + 2E_1 E_2 \cos \omega_1 t \cdot \cos \omega_2 t \right) \\ &= \epsilon_0 \tilde{\chi}^{(2)} \left\{ \frac{1}{2} (E_1^2 + E_2^2) + \frac{1}{2} E_1^2 \cos 2\omega_1 t \right. \\ &\quad \left. + \frac{1}{2} E_2^2 \cos 2\omega_2 t + E_1 \cdot E_2 [\cos(\omega_1 + \omega_2)t + \cos(\omega_1 - \omega_2)t] \right\}, \end{aligned}$$

Γενική περίπτωση διεργασιών που ονομάζονται: 3-wave mixing (π.χ. Raman)

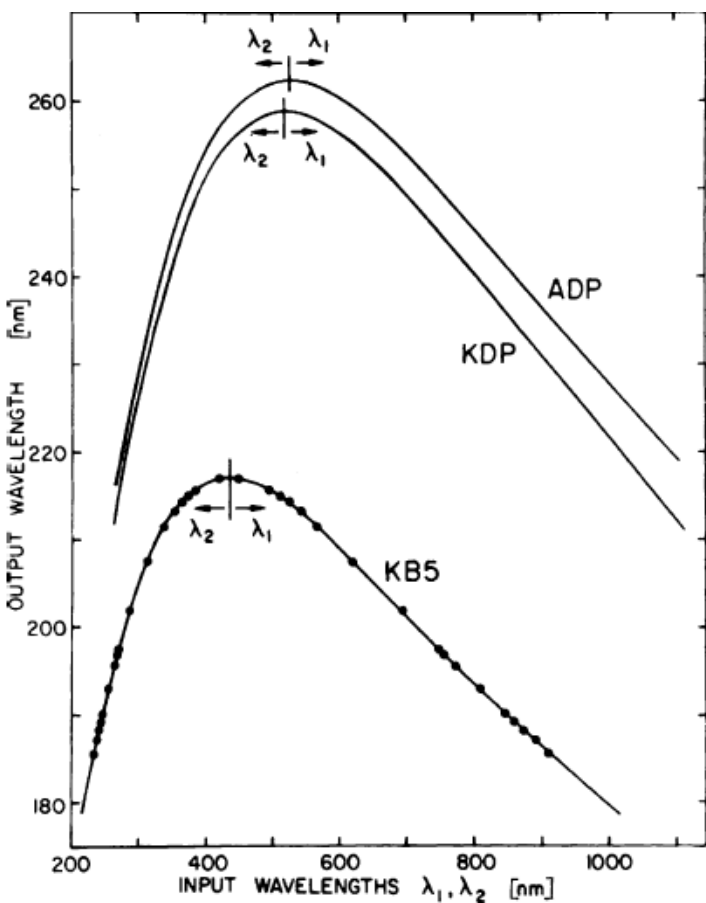
**Sum Frequency
Generation**

**Difference
Frequency Generation**

Μη γραμμική Οπτική (Non-linear Optics)

Άθροισμα – Διαφορά συχνοτήτων (Frequency mixing)

$$I(\omega_3, L) \sim I(\omega_1)I(\omega_2) \frac{2(\omega_1 + \omega_2)^2 |\chi^{(2)}|^2 L^2}{\epsilon_0 c^2 n_1 n_2 n_3} \frac{\sin^2(\Delta k L)}{(\Delta k L)^2}$$



$$\omega_3 = \omega_1 \pm \omega_2$$

Nd:YAG : (1064 nm) + (532 nm) → 355 nm

$$\Delta k = k_{\omega_3} - (k_{\omega_1} \pm k_{\omega_2})$$

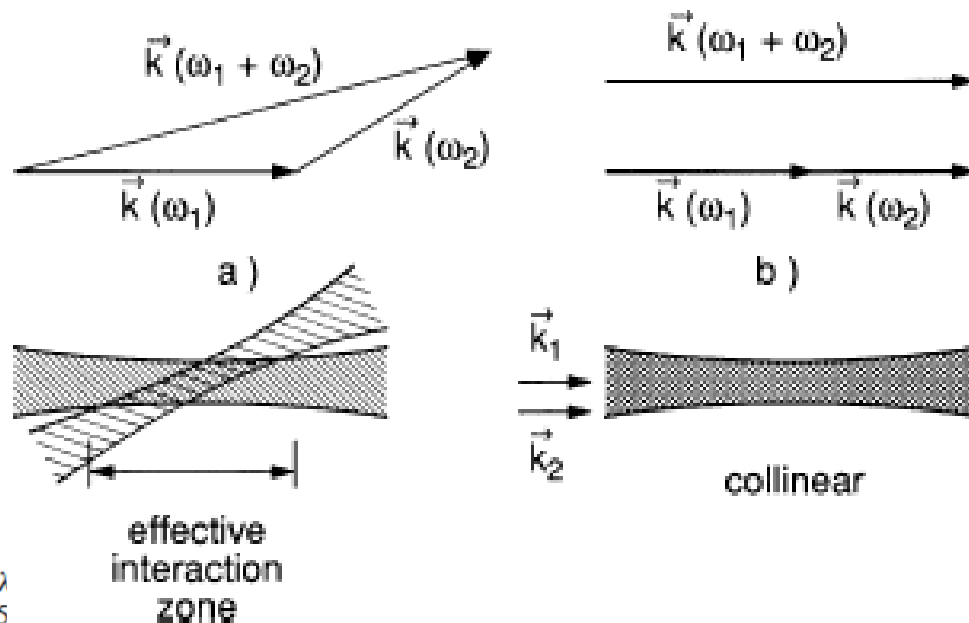


Fig. 5.120. Possible combinations of wavelength pairs (λ_1, λ_2) matched sum-frequency generation in ADP, KDP, and KB5 [5]

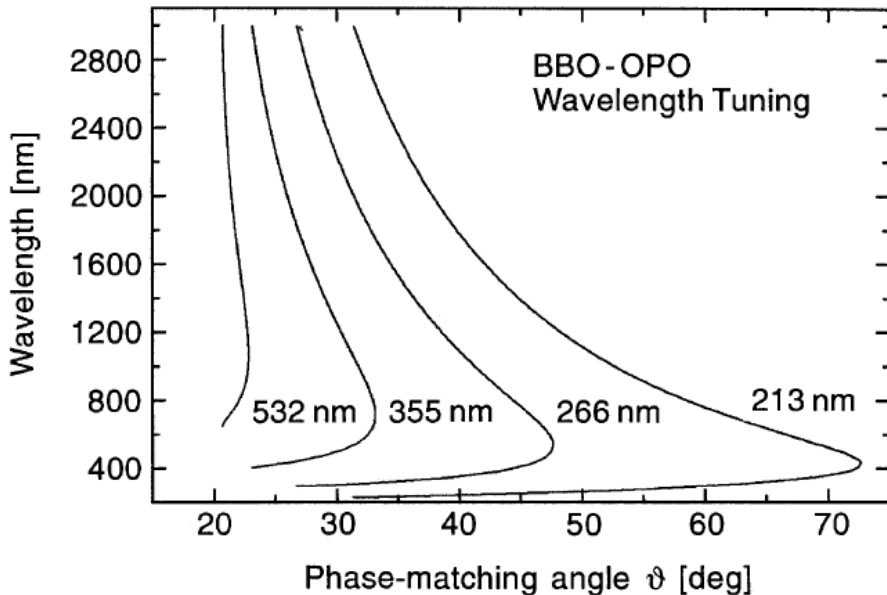
Μη γραμμική Οπτική (Non-linear Optics)

Οπτική Παραμετρική Ταλάντωση (Optical Parametric Oscillation)

Όταν ισχυρό πεδίο ακτινοβολίας αλληλεπιδράσει με κατάλληλο μη γραμμικό παρατηρείται διεργασία παραγωγής 2 ΗΜ κυμάτων (φωτονίων) τα οποία ικανοποιούν τη συνθήκη:

$$\omega_p = \omega_s + \omega_i$$

$$I(\omega_s, L) \sim [I(\omega_p)]^2 \frac{2\omega_s\omega_i |\chi^{(2)}|^2 L^2}{\epsilon_0 c^2 n_i n_s n_p} \frac{\sin^2(\Delta kz)}{(\Delta kz)^2}$$



$$\begin{aligned} \Delta k &= k_p - (k_s + k_i) \\ &= n_p \omega_p - (n_s \omega_s + n_i \omega_i) \end{aligned}$$

Nd:YAG :

355 nm \rightarrow

$$(\lambda_s = \dots \text{ nm}) + (\lambda_i = \text{AM nm})$$

Fig. 5.137. Wavelengths of signal and idler waves in BBO as a function of the phase-matching angle ϑ for different pump wavelengths λ_p [5.310]

Μη γραμμική Οπτική (Non-linear Optics)

Οπτική Παραμετρική Ταλάντωση (Optical Parametric Oscillation)

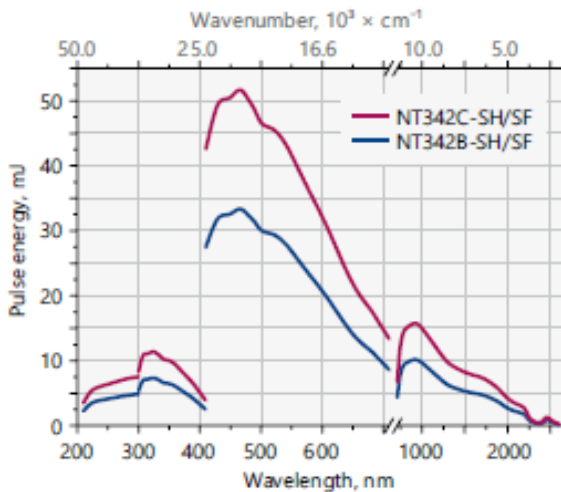


Fig 1. Typical output energy of the NT342 series tunable wavelength systems

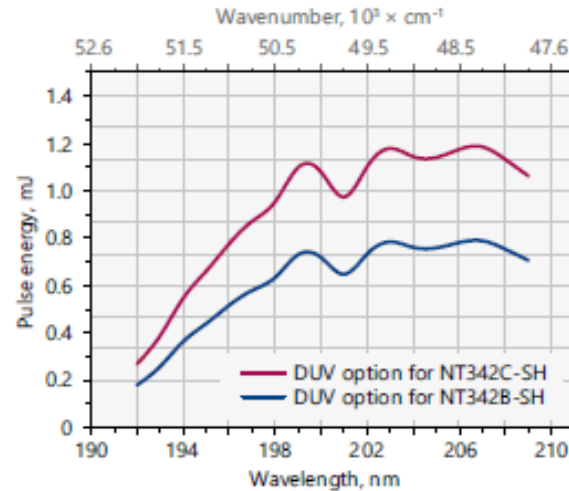


Fig 2. Typical output energy of the NT342 series tunable wavelength systems with SH/DUV extension

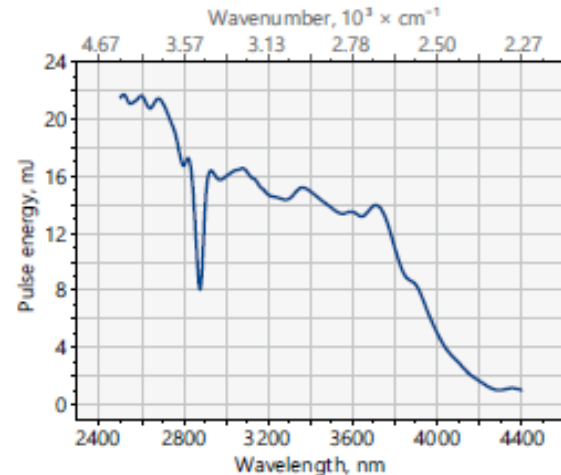


Fig 3. Typical output energy of the NT342 series tunable wavelength systems with MIR extension

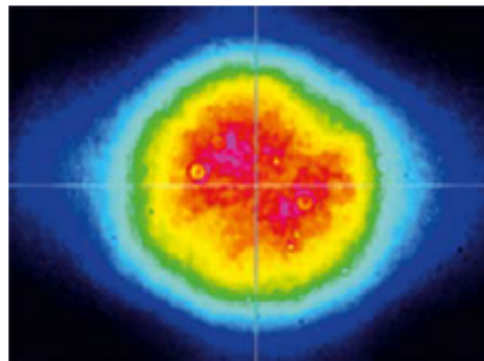


Fig 4. NT342 series laser typical beam profile at 450 nm after ~ 1.5 m distance from output

Γραφήματα ενέργειας παλμού ως προς μήκος κύματος εκπομπής σε λέιζερ OPO.

<https://ekspla.com/wp-content/uploads/Product/Tunable-Lasers/NT342/NT342-datasheet-20200123.pdf>



Τμήμα Χημείας Πανεπιστήμιο Κρήτης

Εργαστήρια Λέιζερ - Εφαρμογές στη Χημεία ΧΗΜ-425

Εαρινό εξάμηνο 2019-20 (02.04.2020)

4Α. Αρχές Λειτουργίας και Τύποι Λέιζερ Μη γραμμική Οπτική

